

# ZÁKLADY KRYSTALOOPTIKY, akustooptiky, elektrooptiky a magnetooptiky

Jiří Čtyroký

[ctyroky@ufe.cz](mailto:ctyroky@ufe.cz)

Ústav fotoniky a elektroniky AV ČR, v.v.i.

[www.ufe.cz/cs/fjfi](http://www.ufe.cz/cs/fjfi)

ÚFE

1

## Tenzor a jeho transformace při rotaci souřadnicové soustavy

Vektor:  $\mathbf{a} = a_x \mathbf{x}^0 + a_y \mathbf{y}^0 + a_z \mathbf{z}^0 = \sum_i a_i \mathbf{x}_i^0$ , v „maticovém“ vyjádření     $\mathbf{a} = \begin{pmatrix} a_x \\ a_y \\ a_z \end{pmatrix} = \begin{pmatrix} a_1 \\ a_2 \\ a_3 \end{pmatrix}$

Tenzor 2. řádu:  $\bar{\mathbf{T}} = \sum_i \sum_j T_{ij} \mathbf{x}_i^0 \mathbf{x}_j^0$ .    Dyadickej součin vektorů:  $\mathbf{ab} = \sum_i \sum_j a_i b_j \mathbf{x}_i^0 \mathbf{x}_j^0$

V maticovém vyjádření     $\mathbf{T} = \begin{pmatrix} T_{xx} & T_{xy} & T_{xz} \\ T_{yx} & T_{yy} & T_{yz} \\ T_{zx} & T_{zy} & T_{zz} \end{pmatrix} = \begin{pmatrix} T_{11} & T_{12} & T_{13} \\ T_{21} & T_{22} & T_{23} \\ T_{31} & T_{32} & T_{33} \end{pmatrix}$ .

Tenzor 3. řádu:  $\tilde{\mathbf{r}} = \sum_i \sum_j \sum_k r_{ijk} \mathbf{x}_i^0 \mathbf{x}_j^0 \mathbf{x}_k^0$     Tenzor 4. řádu:  $\bar{\mathbf{c}} = \sum_i \sum_j \sum_k \sum_l c_{ijkl} \mathbf{x}_i^0 \mathbf{x}_j^0 \mathbf{x}_k^0 \mathbf{x}_l^0$

Skalární součiny tenzorů:  $\mathbf{T} \cdot \mathbf{a} = \left( \sum_i \sum_j T_{ij} \mathbf{x}_i^0 \mathbf{x}_j^0 \right) \cdot \sum_k a_k \mathbf{x}_k^0 = \sum_i \sum_j \left( T_{ij} \mathbf{x}_i^0 \sum_k \mathbf{x}_j^0 \cdot \mathbf{x}_k^0 a_k \right)$   
 $= \sum_i \sum_j \left( T_{ij} \mathbf{x}_i^0 \sum_k \delta_{jk} a_k \right) = \sum_i \sum_j T_{ij} a_j \mathbf{x}_i^0 = \sum_i b_i \mathbf{x}_i^0$ ,  
 $b_i = \sum_j T_{ij} a_j$

ÚFE

2

## Tenzor a jeho transformace při rotaci souřadnicové soustavy - II

$$\begin{aligned} \text{Dvojný skalární součin: } \bar{\mathbf{T}} : \bar{\mathbf{S}} &= \sum_i \sum_j \sum_k \sum_l T_{ij} S_{kl} \left[ \mathbf{x}_i^0 \cdot (\mathbf{x}_j^0 \cdot \mathbf{x}_k^0) \right] \cdot \mathbf{x}_l^0 \\ &= \sum_i \sum_j \sum_k \sum_l T_{ij} S_{kl} \delta_{il} \delta_{jk} = \sum_i \sum_j T_{ij} S_{ji} \end{aligned}$$

Rotace souřadnic: původní soustava  $\mathbf{x}_1^0, \mathbf{x}_2^0, \mathbf{x}_3^0$ , pootočená  $\mathbf{x}_1^{0'}, \mathbf{x}_2^{0'}, \mathbf{x}_3^{0'}$ .

Matice směrových kosinů:  $\alpha_{ij} = \mathbf{x}_i^{0'} \cdot \mathbf{x}_j^0 = \cos(x'_i, x_j)$

Matice zpětné transformace  $\beta_{ji} = \mathbf{x}_j^0 \cdot \mathbf{x}_i^{0'} = \cos(x_j, x'_i) = \cos(x'_i, x_j) = \alpha_{ij}$ ,  $\boxed{\boldsymbol{\alpha}^{-1} = \boldsymbol{\alpha}^T}$

$$\text{Zřejmě } \mathbf{x}_i^{0'} = \sum_j (\mathbf{x}_i^0 \cdot \mathbf{x}_j^0) \mathbf{x}_j^0 = \sum_j \alpha_{ij} \mathbf{x}_j^0, \quad \mathbf{x}_j^0 = \sum_i \beta_{ji} \mathbf{x}_i^{0'} = \sum_i \alpha_{ij} \mathbf{x}_i^{0'}$$

Transformace vektoru:  $\mathbf{a} = \sum_i a_i \mathbf{x}_i^0 = \sum_j a_j \mathbf{x}_j^0 = \sum_j \sum_i \alpha_{ij} a_j \mathbf{x}_i^{0'}; \quad a'_i = \sum_j \alpha_{ij} a_j$

Analogicky  $\mathbf{T}_{ijkl}' = \sum_k \sum_l \alpha_{ik} \alpha_{jl} T_{kl}, \quad r'_{ijk} = \sum_l \sum_m \sum_n \alpha_{il} \alpha_{jm} \alpha_{kn} r_{lmn}$ ,

$$c'_{ijkl} = \sum_m \sum_n \sum_p \sum_q \alpha_{im} \alpha_{jn} \alpha_{kp} \alpha_{lq} C_{mnpq} \quad \text{atd.}$$

Sumační symbol se často vymezuje, sčítá se přes opakující se symboly

ÚFE

3

## Základy krystalooptiky

### Šíření vln v anizotropním prostředí

Časově harmonický proměnné pole bez zdrojů:  $\rho = 0, \quad \mathbf{J} = \mathbf{0}$

$$\mathbf{H}(\mathbf{r}, t) = \operatorname{Re} \{ \mathbf{E}(\mathbf{r}) e^{-i\omega t} \} = \frac{1}{2} \{ \mathbf{E}(\mathbf{r}) e^{-i\omega t} + c.c. \}, \quad \mathbf{K}(\mathbf{r}, t) = \operatorname{Re} \{ \mathbf{H}(\mathbf{r}) e^{-i\omega t} \} = \frac{1}{2} \{ \mathbf{H}(\mathbf{r}) e^{-i\omega t} + c.c. \}$$

Šíření vln se řídí Maxwellovými rovnicemi  $\nabla \times \mathbf{E} = i\omega \mathbf{B}, \quad \nabla \times \mathbf{H} = -i\omega \mathbf{D}$ ,

$$\mathbf{D} = \epsilon_0 \boldsymbol{\epsilon} \cdot \mathbf{E}, \quad \mathbf{B} = \mu_0 \mathbf{H}.$$

Další dvě rovnice jsou přímým důsledkem prvních:  $\nabla \cdot \mathbf{B} = 0, \quad \nabla \cdot \mathbf{D} = 0$ .

$$\text{Anizotropie je popsána vztahem mezi } \mathbf{E} \text{ a } \mathbf{D}: \quad \mathbf{D} = \epsilon_0 \boldsymbol{\epsilon} \cdot \mathbf{E} = \epsilon_0 \begin{pmatrix} \epsilon_{xx} & \epsilon_{xy} & \epsilon_{xz} \\ \epsilon_{yx} & \epsilon_{yy} & \epsilon_{yz} \\ \epsilon_{zx} & \epsilon_{zy} & \epsilon_{zz} \end{pmatrix} \cdot \mathbf{E}$$

Z obecných zákonů termodynamiky lze odvodit, že tenzor relativní permitivity  $\boldsymbol{\epsilon}$  v bezeztrátovém prostředí je **hermitovský**; my se budeme zabývat prostředími popsanými **reálným symetrickým  $\boldsymbol{\epsilon}$** .

ÚFE

4

Reálný symetrický tenzor  $\boldsymbol{\varepsilon}$  je možno **diagonalizovat** rotací (volbou) souřadnicového systému; v nové souřadnicové soustavě má tenzor relativní permitivity  $\boldsymbol{\varepsilon}$  **diagonální tvar**

$$\boldsymbol{\varepsilon} = \begin{pmatrix} \varepsilon_1 & 0 & 0 \\ 0 & \varepsilon_2 & 0 \\ 0 & 0 & \varepsilon_3 \end{pmatrix} = \begin{pmatrix} n_1^2 & 0 & 0 \\ 0 & n_2^2 & 0 \\ 0 & 0 & n_3^2 \end{pmatrix}.$$

Z obecných vlastností symetrických matic plyne, že vlastní vektory tenzoru (*krystalografické osy* tenzoru) jsou **tři** a jsou **vzájemně ortogonální**.

#### Klasifikace anizotropních prostředí:

$$\varepsilon_{xx} \neq \varepsilon_{yy} \neq \varepsilon_{zz}, \quad n_1 \neq n_2 \neq n_3$$

**opticky dvojosé** prostředí (nejobecnější; krystaly)

$$\varepsilon_{xx} = \varepsilon_{yy} \neq \varepsilon_{zz}, \quad n_1 = n_2 \neq n_3$$

**opticky jednoosé** prostředí (krystaly, polymery, ...)

$$\varepsilon_{xx} = \varepsilon_{yy} = \varepsilon_{zz}, \quad n_1 = n_2 = n_3$$

**izotropní** prostředí (většina pevných látek a kapalin)

#### Šíření rovinných vln v anizotropním prostředí

$$\mathbf{E} = \mathbf{E}_0 e^{i\mathbf{k}\cdot\mathbf{r}} = \mathbf{E}_0 e^{ik_0\mathbf{l}\cdot\mathbf{r}}, \quad \mathbf{H} = \mathbf{H}_0 e^{i\mathbf{k}\cdot\mathbf{r}} = \mathbf{H}_0 e^{ik_0\mathbf{l}\cdot\mathbf{r}}, \quad k_0 = \frac{2\pi}{\lambda}, \quad \mathbf{l} = \frac{\mathbf{k}}{k_0}, \quad \mathbf{l} = n\mathbf{l}^0$$

$$\text{Fázová rychlosť šíření: } v_f = \frac{\omega}{|\mathbf{k}|} \mathbf{k}^0 = \frac{c}{|\mathbf{l}|} \mathbf{l}^0; \quad |\mathbf{l}| = n.$$

#### Vztahy mezi vektory pole

Analogicky s přechodem  $\partial/\partial t \rightarrow -i\omega$  lze snadno odvodit, že pro  $e^{ik_0\mathbf{l}\cdot\mathbf{r}}$   $\nabla \rightarrow i k_0 \mathbf{l}$

Pak  $ik_0 \mathbf{l} \times \mathbf{E}_0 = i\omega \mu_0 \mathbf{H}_0$ ,  $ik_0 \mathbf{l} \times \mathbf{H}_0 = -i\omega \mathbf{D}_0$ ,  $\mathbf{D}_0 = \varepsilon_0 \boldsymbol{\varepsilon} \cdot \mathbf{E}_0$ .

$$\text{Odtud } \mathbf{H}_0 = \frac{k_0}{\omega \mu_0} \mathbf{l} \times \mathbf{E}_0 = \frac{\sqrt{\mu_0 \varepsilon_0}}{\mu_0} \mathbf{l} \times \mathbf{E}_0 = Y_0 \mathbf{l} \times \mathbf{E}_0, \quad Y_0 = \sqrt{\frac{\varepsilon_0}{\mu_0}}, \quad Z_0 = Y_0^{-1} = \sqrt{\frac{\mu_0}{\varepsilon_0}}.$$

$$\mathbf{D}_0 = -\frac{k_0}{\omega} \mathbf{l} \times \mathbf{H}_0 = -\frac{1}{c} \mathbf{l} \times \mathbf{H}_0, \quad \mathbf{E}_0 = -\frac{k_0}{\omega \varepsilon_0} \boldsymbol{\varepsilon}^{-1} \cdot (\mathbf{l} \times \mathbf{H}_0) = -Z_0 \boldsymbol{\varepsilon}^{-1} \cdot (\mathbf{l} \times \mathbf{H}_0).$$

**Závěry:** 1. Trojice vektorů  $\mathbf{D}_0, \mathbf{H}_0, \mathbf{l}$  tvoří **pravotočivou ortogonální soustavu vektorů**;

2. Vektory  $\mathbf{E}_0$  a  $\mathbf{H}_0$  jsou vzájemně ortogonální;

3. Vektory  $\mathbf{D}_0$  a  $\mathbf{E}_0$  nejsou obecně **vzájemně rovnoběžné**;

4. Vektory  $\mathbf{E}_0, \mathbf{D}_0, \mathbf{H}_0$  jsou vzájemně **soufázové**;

5. Směr šíření energie (Poyntingova vektoru) **není rovnoběžný s vlnovým vektorem**,

$$\mathbf{S} = \frac{1}{2} \operatorname{Re} \{ \mathbf{E}_0 \times \mathbf{H}_0^* \} = \frac{1}{2} \mathbf{E}_0 \times \mathbf{H}_0 = \frac{1}{2} Y_0 \mathbf{E}_0 \times (\mathbf{l} \times \mathbf{E}_0) = \frac{1}{2} Y_0 [ \mathbf{l} (\mathbf{E}_0 \cdot \mathbf{E}_0) - \mathbf{E}_0 (\mathbf{l} \cdot \mathbf{E}_0) ].$$

$$|\mathbf{l}| = n.$$

„Disperzní“ (Fresnelova) rovnice pro anizotropní prostředí:

$$ik_0 \mathbf{l} \times \mathbf{H}_0 = ik_0 \mathbf{l} \times (Y_0 \mathbf{l} \times \mathbf{E}_0) = -i\omega \varepsilon_0 \boldsymbol{\epsilon} \cdot \mathbf{E}_0, \text{ resp. } \mathbf{l} \times (\mathbf{l} \times \mathbf{E}_0) + \boldsymbol{\epsilon} \cdot \mathbf{E}_0 = \mathbf{0}.$$

To lze přepsat do tvaru

$$\boldsymbol{\epsilon} \cdot \mathbf{E}_0 + \mathbf{l}(\mathbf{l} \cdot \mathbf{E}_0) - (\mathbf{l} \cdot \mathbf{l})\mathbf{E}_0 = \mathbf{0}, \quad \text{neboli} \quad (\boldsymbol{\epsilon} + \mathbf{l}\mathbf{l} - \mathbf{l}^2 \mathbf{I}) \cdot \mathbf{E}_0 = \mathbf{0},$$

kde  $\mathbf{a} \mathbf{b} = \begin{pmatrix} a_x b_x & a_x b_y & a_x b_z \\ a_y b_x & a_y b_y & a_y b_z \\ a_z b_x & a_z b_y & a_z b_z \end{pmatrix}$  je **dyáda vektorů**  $\mathbf{a}, \mathbf{b}$ .

Fresnelova rovnice má explicitní tvar  $\begin{pmatrix} \varepsilon_{xx} - l_y^2 - l_z^2 & \varepsilon_{xy} + l_x l_y & \varepsilon_{xz} + l_x l_z \\ \varepsilon_{xy} + l_x l_y & \varepsilon_{yy} - l_x^2 - l_z^2 & \varepsilon_{yz} + l_y l_z \\ \varepsilon_{xz} + l_x l_z & \varepsilon_{yz} + l_y l_z & \varepsilon_{zz} - l_x^2 - l_y^2 \end{pmatrix} \begin{pmatrix} E_{0x} \\ E_{0y} \\ E_{0z} \end{pmatrix} = \begin{pmatrix} 0 \\ 0 \\ 0 \end{pmatrix}$ .

Podmínkou existence netriviálního řešení  $\mathbf{E}_0$  je **nulovost determinantu**

$$\Phi(\omega, \mathbf{l}) = \det(\boldsymbol{\epsilon} + \mathbf{l}\mathbf{l} - \mathbf{l}^2 \mathbf{I}) = 0.$$

V osové poloze (diagonální  $\boldsymbol{\epsilon}$ ) je

$$\begin{aligned} \Phi(\omega, \mathbf{l}) = & (\varepsilon_{xx} - l_y^2 - l_z^2)(\varepsilon_{yy} - l_x^2 - l_z^2)(\varepsilon_{zz} - l_x^2 - l_y^2) + 2l_x^2 l_y^2 l_z^2 \\ & - l_x^2 l_z^2 (\varepsilon_{yy} - l_x^2 - l_z^2) - l_y^2 l_z^2 (\varepsilon_{xx} - l_y^2 - l_z^2) - l_x^2 l_y^2 (\varepsilon_{zz} - l_x^2 - l_y^2). \end{aligned}$$

ÚFE

Po úpravě dostaneme

$$\begin{aligned} \Phi(\omega, \mathbf{l}) = & \varepsilon_{xx} l_x^4 + \varepsilon_{yy} l_y^4 + \varepsilon_{zz} l_z^4 + \varepsilon_{xx} l_x^2 (l_y^2 + l_z^2) + \varepsilon_{yy} l_y^2 (l_x^2 + l_z^2) + \varepsilon_{zz} l_z^2 (l_x^2 + l_y^2) \\ & - \varepsilon_{xx} \varepsilon_{yy} (l_x^2 + l_y^2) - \varepsilon_{xx} \varepsilon_{zz} (l_x^2 + l_z^2) - \varepsilon_{yy} \varepsilon_{zz} (l_y^2 + l_z^2) + \varepsilon_{xx} \varepsilon_{yy} \varepsilon_{zz} \end{aligned}$$

$\Phi(\omega, \mathbf{l})$  je tedy **polynom 4. stupně** v každé z proměnných  $l_x, l_y, l_z$ , **symetrický** vůči inverzi os.

Řešením (např.  $l_z$  pro zadané  $l_x, l_y$ ) jsou tedy 2 hodnoty  $l_{z1,2}$  a 2 hodnoty  $l_{z3,4} = -l_{z1,2}$ .

Plocha  $\Phi(\omega, \mathbf{l}) = 0$  je tedy **plochou 4. stupně**, tzv. **plochou vlnových vektorů**.

Ukážeme, že **energie se šíří kolmo k ploše vlnových vektorů**.

Směr šíření energie určuje grupová rychlosť,  $\mathbf{v}_g = \frac{1}{k_0} \nabla_1 \omega, v_{gx} = \frac{1}{k_0} \frac{\partial \omega}{\partial l_x}$  atd.

Poněvadž  $\frac{\partial \Phi}{\partial \omega} d\omega + \nabla_1 \Phi \cdot d\mathbf{l} = 0, \quad d\omega = -\frac{1}{\frac{\partial \Phi}{\partial \omega}} \nabla_1 \Phi \cdot d\mathbf{l}$ , a tedy

$\mathbf{v}_g = -\frac{1}{k_0} \frac{1}{\frac{\partial \Phi}{\partial \omega}} \nabla_1 \Phi$ . Směr šíření energie je tedy rovnoběžný s normálou k ploše vln. vektorů.

Vektory  $\mathbf{H}_0$  i  $\mathbf{E}_0$  jsou kolmé ke směru Poyntingova vektoru, tj. k normále plochy  $\Phi = 0$ .  $\mathbf{H}_0$  je navíc kolmý i k  $\mathbf{l}$ .

ÚFE

8

Alternativní popis chování vlny v anizotropním prostředí pomocí „elipsoidu indexů lomu“

Zavedeme **projektor** do podprostoru kolmého k  $\mathbf{l}$  jako tenzor  $\mathbf{P} = \mathbf{I} - \mathbf{l}^0 \mathbf{l}^0$ .

Ve složkách zřejmě platí

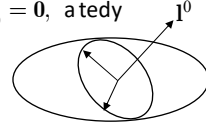
$$\mathbf{P} = \begin{pmatrix} 1 - (l_x^0)^2 & -l_x^0 l_y^0 & -l_x^0 l_z^0 \\ -l_y^0 l_x^0 & 1 - (l_y^0)^2 & -l_y^0 l_z^0 \\ -l_z^0 l_x^0 & -l_z^0 l_y^0 & 1 - (l_z^0)^2 \end{pmatrix}$$

Poněvadž je  $\mathbf{D}_0$  kolmé k  $\mathbf{l}$ , projekcí  $\mathbf{D}_0$  do podprostoru kolmého k  $\mathbf{l}$  se tento vektor nemění:

$$\mathbf{P} \cdot \mathbf{D}_0 = (\mathbf{I} - \mathbf{l}^0 \mathbf{l}^0) \cdot \mathbf{D}_0 = \mathbf{D}_0.$$

Pak se rovnice  $\mathbf{l} \times (\mathbf{l} \times \mathbf{E}_0) + \boldsymbol{\epsilon} \cdot \mathbf{E}_0 = \mathbf{0}$  dá přepsat do tvaru  $(\mathbf{l} = n\mathbf{l}^0, \mathbf{E}_0 = \frac{1}{\varepsilon_0} \boldsymbol{\epsilon}^{-1} \cdot \mathbf{D}_0)$

$$n^2 \mathbf{l}^0 \times \left( \mathbf{l}^0 \times \frac{1}{\varepsilon_0} \boldsymbol{\epsilon}^{-1} \cdot \mathbf{D}_0 \right) + \frac{1}{\varepsilon_0} \mathbf{D}_0 = \mathbf{0}, \text{ neboť } \left[ (\mathbf{I} - \mathbf{l}^0 \mathbf{l}^0) \cdot \boldsymbol{\epsilon}^{-1} - \frac{1}{n^2} \mathbf{I} \right] \cdot \mathbf{D}_0 = \mathbf{0}, \text{ a tedy}$$

$$\left[ \mathbf{P} \cdot \boldsymbol{\epsilon}^{-1} \cdot \mathbf{P} - \frac{1}{n^2} \mathbf{I} \right] \cdot \mathbf{D}_0 = \mathbf{0}.$$


$\mathbf{P} \cdot \boldsymbol{\epsilon}^{-1} \cdot \mathbf{P}$  je v podstatě **dvojrozměrný** tenzor v rovině kolmé na  $\mathbf{l}$  a rovnice je rovnicí elipsy v této rovině. Odtud plyně konstrukce elipsoidu indexů lomu a orientace vektorů  $\mathbf{D}_0$ .

ÚFE

9

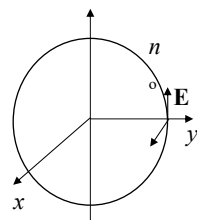
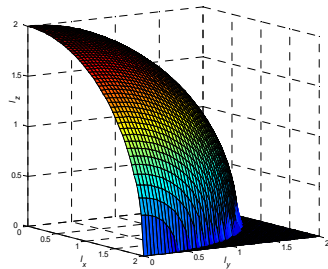
Úprava obecné disperzní relace

$$\Phi(\omega, \mathbf{l}) = \varepsilon_{xx} l_x^4 + \varepsilon_{yy} l_y^4 + \varepsilon_{zz} l_z^4 + \varepsilon_{xx} l_x^2 (l_y^2 + l_z^2) + \varepsilon_{yy} l_y^2 (l_x^2 + l_z^2) + \varepsilon_{zz} l_z^2 (l_x^2 + l_y^2) - \varepsilon_{xx} \varepsilon_{yy} (l_x^2 + l_y^2) - \varepsilon_{xx} \varepsilon_{zz} (l_x^2 + l_z^2) - \varepsilon_{yy} \varepsilon_{zz} (l_y^2 + l_z^2) + \varepsilon_{xx} \varepsilon_{yy} \varepsilon_{zz}$$

pro speciální případy:

V **izotropním prostředí** popisuje disperzní rovnice „dvojnásobně degenerovanou“ kulovou plochu.

$$\Phi(\omega, \mathbf{l}) = \varepsilon_{xx} (l_x^2 - l_y^2 - l_z^2)^2 = 0.$$



ÚFE

10

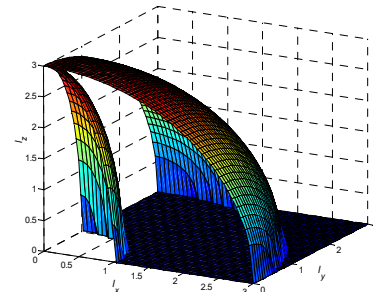
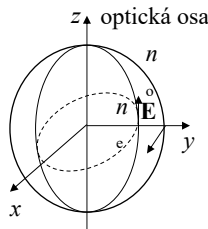
**Jednoosé prostředí:**  $\Phi(\omega, \mathbf{l}) = (\varepsilon_{xx} - l_x^2 - l_y^2 - l_z^2) [\varepsilon_{xx}\varepsilon_{zz} - \varepsilon_{xx}(l_x^2 + l_y^2) - \varepsilon_{zz}l_z^2] = 0.$

Rovnice kulové plochy (rádná vlna):  $\varepsilon_{xx} - l_x^2 - l_y^2 - l_z^2 = 0,$

Rotační elipsoid (mimořádná vlna):  $\frac{l_x^2 + l_y^2}{\varepsilon_{zz}} + \frac{l_z^2}{\varepsilon_{xx}} = 1, \text{ nebo} \frac{l_x^2 + l_y^2}{n_e^2} + \frac{l_z^2}{n_o^2} = 1$

V rovině ( $x z$ ) platí  $n = |\mathbf{l}| = l = \frac{n_x n_z}{\sqrt{n_x^2 \sin^2 \theta + n_z^2 \cos^2 \theta}},$

kde  $\theta$  je úhel vlnového vektoru  $\mathbf{l}$  od osy  $z.$



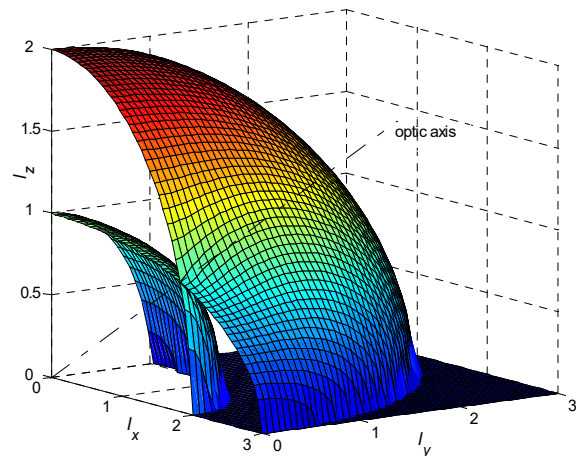
ÚFE

11

### Dvojosé prostředí

$$\begin{aligned} \Phi(\omega, \mathbf{l}) = & \varepsilon_{xx}l_x^4 + \varepsilon_{yy}l_y^4 + \varepsilon_{zz}l_z^4 + \varepsilon_{xx}l_x^2(l_y^2 + l_z^2) + \varepsilon_{yy}l_y^2(l_x^2 + l_z^2) + \varepsilon_{zz}l_z^2(l_x^2 + l_y^2) \\ & - \varepsilon_{xx}\varepsilon_{yy}(l_x^2 + l_y^2) - \varepsilon_{xx}\varepsilon_{zz}(l_x^2 + l_z^2) - \varepsilon_{yy}\varepsilon_{zz}(l_y^2 + l_z^2) + \varepsilon_{xx}\varepsilon_{yy}\varepsilon_{zz} \end{aligned}$$

Plocha vlnových vektorů  
dvojosého prostředí  
s indexy lomu  
 $n_x = 1, n_y = 2, n_z = 3$

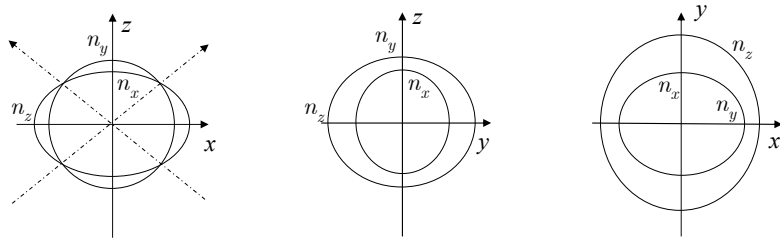


ÚFE

12

Pro **dvojose prostředí** lze řezy plochy vlnových vektorů souřadnicovými rovinami  $l_x, l_y, l_z$  vyjádřit ve tvaru

$$\begin{aligned} l_x = 0: \quad & (\varepsilon_{xx} - l_y^2 - l_z^2) [\varepsilon_{yy}\varepsilon_{zz} - \varepsilon_{yy}l_y^2 - \varepsilon_{zz}l_z^2] = 0, \quad \text{což je součin } \mathbf{rovnice kružnice} \\ l_y = 0: \quad & (\varepsilon_{yy} - l_x^2 - l_z^2) [\varepsilon_{xx}\varepsilon_{zz} - \varepsilon_{xx}l_x^2 - \varepsilon_{zz}l_z^2] = 0, \quad \text{a } \mathbf{rovnice elipsy}. \\ l_z = 0: \quad & (\varepsilon_{zz} - l_x^2 - l_y^2) [\varepsilon_{xx}\varepsilon_{yy} - \varepsilon_{xx}l_x^2 - \varepsilon_{yy}l_y^2] = 0, \quad \text{Pro } n_x < n_y < n_z \end{aligned}$$



ÚFE

13

### Prostředí s optickou aktivitou – **chirální prostředí**

Optická aktivita = stáčení roviny polarizace lineárně polarizované vlny.

Chirální prostředí je prostředí **bez translační symetrie**.

*Konstituční relace* pro chirální prostředí lze zavést různým způsobem. Jeden z možných je

$$\begin{aligned} \mathbf{D} &= \varepsilon_0 \boldsymbol{\epsilon} \cdot \mathbf{E} - \frac{i}{c} \mathbf{g} \cdot \mathbf{H} = \varepsilon_0 \boldsymbol{\epsilon} \cdot \mathbf{E} - \frac{Y_0}{\omega} \mathbf{g} \cdot \nabla \times \mathbf{E} & \mathbf{g} \text{ je bezrozměrný symetrický} \\ \mathbf{B} &= \mu_0 \mathbf{H} + \frac{i}{c} \mathbf{g} \cdot \mathbf{E} = \mu_0 \mathbf{H} - \frac{Z_0}{\omega} \mathbf{g} \cdot \boldsymbol{\epsilon}^{-1} \cdot \nabla \times \mathbf{H} & \text{tenzor 2. rádu, tzv. } \mathbf{chirální tenzor} \end{aligned}$$

#### Šíření rovinné vlny v chirálním prostředí

Rovinnou vlnu popisují vztahy  $\mathbf{E} = \mathbf{E}_0 e^{i\mathbf{k} \cdot \mathbf{r}}$ ,  $\mathbf{H} = \mathbf{H}_0 e^{i\mathbf{k} \cdot \mathbf{r}}$ ,  $\mathbf{k} = k_0 \mathbf{l} = \omega \sqrt{\mu_0 \varepsilon_0} \mathbf{l} = \frac{\omega}{c} \mathbf{l} = \frac{2\pi}{\lambda} \mathbf{l}$ .

Rotace dá

Dosazením do Maxwellových rovnic získáme

$$\begin{aligned} \nabla \times \mathbf{E} &= i\mathbf{k} \times \mathbf{E}_0 e^{i\mathbf{k} \cdot \mathbf{r}} = ik_0 \mathbf{l} \times \mathbf{E}_0 e^{i\mathbf{k} \cdot \mathbf{r}}, & \mathbf{l} \times \mathbf{E}_0 &= \sqrt{\frac{\mu_0}{\varepsilon_0}} \mathbf{H}_0 + i \mathbf{g} \cdot \mathbf{E}_0, \\ \nabla \times \mathbf{H} &= i\mathbf{k} \times \mathbf{H}_0 e^{i\mathbf{k} \cdot \mathbf{r}} = ik_0 \mathbf{l} \times \mathbf{E}_0 e^{i\mathbf{k} \cdot \mathbf{r}}; & -\mathbf{l} \times \mathbf{H}_0 &= \varepsilon \sqrt{\frac{\varepsilon_0}{\mu_0}} \mathbf{E}_0 - i \mathbf{g} \cdot \mathbf{H}_0. \end{aligned}$$

ÚFE

14

Z prvej rovnice vypočítáme  $\mathbf{H}_0$ :  $\mathbf{H}_0 = \sqrt{\frac{\epsilon_0}{\mu_0}} (\mathbf{l} \times \mathbf{E}_0 - i \mathbf{g} \cdot \mathbf{E}_0)$ .

Dosazením do druhej rovnice dostaneme

$$-\mathbf{l} \times (\mathbf{l} \times \mathbf{E}_0 - i \mathbf{g} \cdot \mathbf{E}_0) = \epsilon \cdot \mathbf{E}_0 - i \mathbf{g} \cdot (\mathbf{l} \times \mathbf{E}_0 - i \mathbf{g} \cdot \mathbf{E}_0)$$

Rovnicu pak môžeme upraviť do tvaru

$$\begin{aligned} [\mathbf{l}^2 \mathbf{I} - \mathbf{l}\mathbf{l} + i(\mathbf{l} \times \mathbf{g} + \mathbf{g} \times \mathbf{l}) - \boldsymbol{\epsilon} + \underset{\substack{\text{zanedbáme,} \\ \text{člen malý 2. řádu}}}{\mathbf{g}\mathbf{g}}] \cdot \mathbf{E}_0 = \mathbf{0}, \text{ kde } \mathbf{l} \times \mathbf{g} = \sum_{m,n=1}^3 (\mathbf{l} \times \mathbf{x}_m^0) \mathbf{x}_n^0 g_{mn}, \\ \mathbf{g} \times \mathbf{l} = \sum_{m,n=1}^3 \mathbf{x}_m^0 (\mathbf{x}_n^0 \times \mathbf{l}) g_{mn}. \end{aligned}$$

V souřadnicové soustavě, v níž je  $\boldsymbol{\epsilon}$  diagonální, má rovnice tvar

$$\begin{bmatrix} l_y^2 + l_z^2 - \epsilon_{xx} & -l_x l_y + i[(g_{xx} + g_{yy})l_z - g_{zx}l_x - g_{zy}l_y] & -l_x l_z - i[(g_{xx} + g_{zz})l_y - g_{yx}l_x - g_{yz}l_z] \\ -l_x l_y - i[(g_{xx} + g_{yy})l_z - g_{zx}l_x - g_{zy}l_y] & l_x^2 + l_z^2 - \epsilon_{yy} & -l_y l_z - i[(g_{yy} + g_{zz})l_x - g_{xy}l_y - g_{xz}l_z] \\ -l_x l_z + i[(g_{xx} + g_{zz})l_y - g_{yx}l_x - g_{yz}l_z] & -l_y l_z + i[(g_{yy} + g_{zz})l_x - g_{xy}l_y - g_{xz}l_z] & l_x^2 + l_y^2 - \epsilon_{zz} \end{bmatrix} \begin{bmatrix} E_{0x} \\ E_{0y} \\ E_{0z} \end{bmatrix} = \mathbf{0}.$$

*Disperzní rovnice* pro rovinnou vlnu v chirálním prostředí:

$$\det[\dots] = 0 \dots \text{ plocha 4. stupně v souřadnicích } (l_x, l_y, l_z).$$

### Izotropní chirální prostředí

$$\mathbf{g} = g\mathbf{l}, \quad \boldsymbol{\epsilon} = \epsilon\mathbf{I}; \quad \text{volme } \mathbf{l} = l_z \mathbf{z}^0 = l_z \mathbf{x}_3^0.$$

Pak disperzní rovnice přejde na tvar

Poslední rovnice má řešení  $E_z = 0$ .

$$\begin{pmatrix} l_z^2 - \epsilon & -2i gl_z & 0 \\ 2i gl_z & l_z^2 - \epsilon & 0 \\ 0 & 0 & -\epsilon \end{pmatrix} \begin{pmatrix} E_x \\ E_y \\ E_z \end{pmatrix} = \mathbf{0}.$$

Další dvě mají netriviální řešení, pokud

$$(l_z^2 - \epsilon)^2 - 4g^2 l_z^2 = 0,$$

Poněvadž prakticky vždy  $g \ll \epsilon$ ,

získáme obecný vztah

$$l_z = \pm \sqrt{\epsilon + g^2} \pm g \approx \pm \sqrt{\epsilon} \pm g = \pm n \pm g; \quad \text{pro amplitudy pole získáme}$$

$$\frac{E_y}{E_x} \approx 2i \frac{gl_z}{l_z^2 - \epsilon} \approx \pm i.$$

Vlastní vlny izotropního chirálního prostředí jsou tedy kruhově polarizované a šíří se s indexem lomu  $n \pm g$ .

V izotropním prostředí lze za osu  $z$  zvolit libovolný směr; plocha vlnových vektorů se tedy rozpadá na dvě kulové plochy o poloměrech  $n \pm g$ .

### Stáčení roviny polarizace v izotropním chirálním prostředí

Je-li v místě  $z = 0$  inzenzita elektrického pole lineárně polarizovaná,  $\mathbf{E}(z = 0) = E_0 \mathbf{x}^0$ , je ji možno vyjádřit jako superpozici dvou kruhově polarizovaných vln,

$$\mathbf{E} = \frac{1}{2} \mathbf{E}_0^+ e^{ik_0 l^+ z} + \frac{1}{2} \mathbf{E}_0^- e^{ik_0 l^- z}, \text{ kde } \mathbf{E}_0^+ = E_0 (\mathbf{x}^0 + i \mathbf{y}^0), \mathbf{E}_0^- = E_0 (\mathbf{x}^0 - i \mathbf{y}^0), l^\pm = n \pm g.$$

$$\text{Pak } E_x = \frac{1}{2} E_0 (e^{ik_0 l^+ z} + e^{ik_0 l^- z}) = E_0 e^{ik_0 (l^+ + l^-) z / 2} \cos k_0 \frac{\Delta l}{2} z,$$

$$E_y = \frac{i}{2} E_0 (e^{ik_0 l^+ z} - e^{ik_0 l^- z}) = -E_0 e^{ik_0 (l^+ + l^-) z / 2} \sin k_0 \frac{\Delta l}{2} z.$$

$$\text{Při šíření na vzdálenost } L \text{ se polarizace pootočí o úhel } \varphi = k_0 \frac{\Delta l}{2} L = k_0 g L.$$

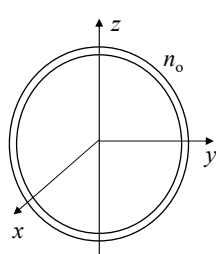
Chirální parametr  $g$  je tedy určen *specifickou stáčivostí* polarizace,  $g = \frac{1}{k_0} \frac{\varphi}{L}$ .

Specifická stáčivost a chirální parametr některých materiálů na vln. délce 632,8 nm:

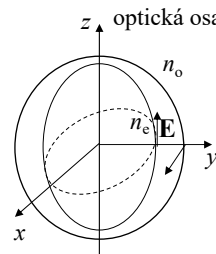
| materiál                        | $\varphi/L$          | $g$                   |
|---------------------------------|----------------------|-----------------------|
| křemen $\text{SiO}_2$           | $22^\circ/\text{mm}$ | $3.85 \times 10^{-5}$ |
| paratelurit $\text{TeO}_2$      | $87^\circ/\text{mm}$ | $1.52 \times 10^{-4}$ |
| $\text{Bi}_{12}\text{GeO}_{20}$ | $20^\circ/\text{mm}$ | $3.5 \times 10^{-5}$  |

### Vliv optické aktivity prostředí na tvar ploch vlnových vektorů

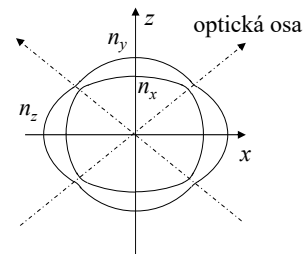
a) Izotropní prostředí



b) Jednoosé prostředí



c) Dvojosé prostředí



# Základy teorie šíření akustických vln v elastickém prostředí

ÚFE

19

## Šíření akustické vlny v elastickém prostředí

(B.A.Auld: Acoustic fields and waves in solids I, II, J. Wiley 1973)

Deformace tělesa  $\mathbf{r}_0, t) = \mathbf{r}_0 + \boldsymbol{\xi}(\mathbf{r}_0, t)$   
 $\boldsymbol{\xi}(\mathbf{r}_0, t)$  (elastická výchylka bodu  $\mathbf{r}_0$ )  
Element vzdálenosti mezi dvěma body vzdálenými o  $d\mathbf{r}_0$ ,  
se při deformaci změní na  $\mathbf{r}_0 + d\mathbf{r}_0 + \boldsymbol{\xi}(\mathbf{r}_0 + d\mathbf{r}_0, t) - \mathbf{r}_0 - \boldsymbol{\xi}(\mathbf{r}_0, t) = d\mathbf{r}_0 + d\boldsymbol{\xi}(\mathbf{r}_0, t)$ ,  
kde  $d\boldsymbol{\xi}(\mathbf{r}_0, t) = \sum_n \frac{\partial \boldsymbol{\xi}}{\partial x_n} dx_n = \sum_{m,n,p} \frac{\partial \xi_m}{\partial x_n} \mathbf{x}_m^0 \underbrace{\mathbf{x}_n^0 \cdot \mathbf{x}_p^0}_{\delta_{np}} dx_p = \nabla \boldsymbol{\xi}(\mathbf{r}_0, t) \cdot d\mathbf{r}_0$ ,  
kde  $\nabla \boldsymbol{\xi} = \sum_{m,n} \frac{\partial \xi_m}{\partial x_n} \mathbf{x}_m^0 \mathbf{x}_n^0$ . je gradient výchylky (dyáda).

Pokud  $d\boldsymbol{\xi} \cdot d\mathbf{r}_0 = 0$ , nezmění se velikost  $d\mathbf{r}_0$ . Pak nejde o deformaci, ale o pootočení tělesa:

$$d\boldsymbol{\xi} \cdot d\mathbf{r}_0 = d\mathbf{r}_0 \cdot \nabla \boldsymbol{\xi} \cdot d\mathbf{r}_0 = \sum_{m,n} \frac{\partial \xi_m}{\partial x_n} dx_m dx_n = \frac{1}{2} \sum_{m,n} \left( \frac{\partial \xi_m}{\partial x_n} + \frac{\partial \xi_n}{\partial x_m} \right) dx_m dx_n = 0$$

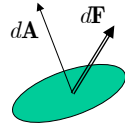
Tenzor deformace se proto zavádí jako symetrická část tenzoru gradientu výchylky,

$$\bar{\mathbf{S}} = \frac{1}{2} (\nabla \boldsymbol{\xi} + (\nabla \boldsymbol{\xi})^T); \quad S_{mn} = S_{nm} = \frac{1}{2} \left( \frac{\partial \xi_m}{\partial x_n} + \frac{\partial \xi_n}{\partial x_m} \right)$$

ÚFE

20

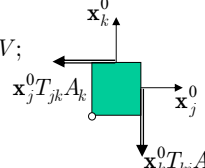
## Silové působení v pevných látkách



Síla působící na element plochy  $d\mathbf{A}$  je  $d\mathbf{F}$ :  $d\mathbf{F} = \bar{\mathbf{T}} \cdot d\mathbf{A}$

Síla působící na element *objemu* je

$$d\mathbf{F} = \iint_A \bar{\mathbf{T}} \cdot d\mathbf{A} = \int_V \nabla \cdot \bar{\mathbf{T}} dV = \sum_j \frac{\partial T_{jk}}{\partial x_k} \mathbf{x}_j^0 dV; \quad \mathbf{T} \dots \text{tenzor pnutí pevné látky}$$



Poněvadž element pevné látky se „neotáčí“, na element tělesa nepůsobí moment síly, tenzor pnutí je tedy *symetrický*:  $T_{jk} = T_{kj}$

„Hookův zákon“:  $T_{jk} = \sum_{lm} c_{jklm} S_{lm}$  Pro malé deformace platí **lineární vztah** mezi  $\mathbf{T}$  a  $\mathbf{S}$

Ze symetrie  $\mathbf{T}$  a  $\mathbf{S}$  vyplývá  $c_{jklm} = c_{kjml} = c_{jklm}$

Lze ukázat, že s deformací je spojena hustota energie

$$dU = \mathbf{T} : d\mathbf{S} = \sum_{jk} T_{jk} dS_{jk} = \sum_{jklm} c_{jklm} dS_{jk} S_{lm} = \sum_{jklm} c_{jklm} S_{jk} dS_{lm}, \text{ a tedy } c_{jklm} = c_{lmjk}$$

Symetrie umožňuje zavést zkrácené značení  $c_{\alpha\beta} = c_{jklm}$ ,  $T_\alpha = T_{jk}$ ,  $S_\alpha = \begin{cases} S_{jj} \\ 2S_{jk}, j \neq k \end{cases}$   
(Voigtův zápis)  
 $\alpha = 1, 2, \dots, 6$

ÚFE

21

## Dynamika elastického prostředí; šíření akustických vln

Analogie Newtonovy silové rovnice  $\mathbf{F} = m \cdot \frac{d^2 \mathbf{r}}{dt^2}$  pro element objemu látky

$$\frac{\partial^2}{\partial t^2} \int_V \rho \xi dV = \iint_A \mathbf{T} \cdot d\mathbf{A} = \int_V \nabla \cdot \mathbf{T} dV, \text{ a tedy } \rho \frac{\partial^2 \xi_j}{\partial t^2} = \sum_k \frac{\partial T_{jk}}{\partial x_k}. \quad \text{Po dosazení za } \mathbf{T}$$

a s uvážením symetrie  $\mathbf{S}$  dostaneme  $\rho \frac{\partial^2 \xi_j}{\partial t^2} = \sum_{klm} c_{jklm} \frac{\partial^2 \xi_m}{\partial x_k \partial x_l}$ , což je **vlnová rovnice** pro  $\xi$ .

Rovinná akustická vlna:  $\xi = \xi_0 e^{i(\mathbf{K} \cdot \mathbf{r} - \Omega t)}$ ,  $\mathbf{K} = \frac{\Omega}{v_a} \mathbf{n}^0$ ,  $K = \frac{2\pi}{\Lambda}$ . Dosazením získáme

$$\sum_m \left( \sum_{kl} c_{jklm} n_k n_l - \rho v_a^2 \delta_{jm} \right) \xi_{0m} = 0 \dots \text{soustava 3 lineárních rovnic pro 3 složky amplitudy } \xi_0.$$

Jinak: úloha pro vlastní čísla  $\rho v_a^2$  a vlastní vektory  $\xi_0$  pozitivně definitní reálné symetrické matice

s prvky  $\sum_{kl} c_{jklm} n_k n_l \Rightarrow$  obecně existují 3 vlastní čísla a 3 vlastní vektory vzájemně ortogonální.

V každém směru  $\mathbf{n}^0$  se mohou šířit 3 akustické vlny vzájemně ortogonálně polarizované, s různými fázovými rychlostmi.

ÚFE

22

## Některé vlastnosti akustických vln

Z energetické bilance elastických kmitů lze odvodit výraz pro akustický Poyntingův vektor

$$\boldsymbol{\Pi} = -\mathbf{T} \cdot \dot{\boldsymbol{\xi}}$$

Grupová rychlosť šíření  $v_g$  je rovnoběžná s  $\boldsymbol{\Pi}$ , přičemž platí  $\mathbf{v}_g \cdot \mathbf{n}^0 = v_a \Rightarrow |\mathbf{v}_g| \geq v_a$  (!!?)

V izotropním prostředí  $c_{11} = c_{22} = c_{33}$ ,  $c_{12} = c_{13} = c_{23}$ ,  $c_{44} = c_{55} = c_{66} = \frac{1}{2}(c_{11} - c_{12})$

Volme pro jednoduchost  $\mathbf{n}^0 = \mathbf{z}^0$ . Pak

$$\begin{pmatrix} c_{44} - \rho v_a^2 & 0 & 0 \\ 0 & c_{44} - \rho v_a^2 & 0 \\ 0 & 0 & c_{11} - \rho v_a^2 \end{pmatrix} \cdot \begin{pmatrix} \xi_1 \\ \xi_2 \\ \xi_3 \end{pmatrix} = \begin{pmatrix} 0 \\ 0 \\ 0 \end{pmatrix} \quad v_{a\parallel} = \sqrt{\frac{c_{11}}{\rho}}, \quad v_{a\perp} = \sqrt{\frac{c_{44}}{\rho}} < v_{a\parallel}$$

Normovaný akustický vlnový vektor  $\mathbf{l}_a$ ,  $\boldsymbol{\xi} = \xi_0 e^{i\Omega(\mathbf{l}_a \cdot \mathbf{r} - t)}$ ,  $\sum_m \left( \sum_{kl} c_{jklm} l_k l_l - \rho \delta_{jm} \right) \xi_{0m} = 0$ ,

$\det \left[ \left( \sum_{kl} c_{jklm} l_k l_l - \rho \delta_{jm} \right) \right] = 0$  je rovnice plochy vlnových vektorů (6. stupně!)

## Teoretické základy akustooptické interakce

Elastická deformace  $\bar{S}$  způsobí změnu tenzoru (elektrické) impermitivity  $\bar{\eta} = \bar{\varepsilon}^{-1}$ ,

$\Delta \bar{\eta} = \bar{\bar{p}} : \bar{S}$ ,  $\Delta \bar{\varepsilon} = -\bar{\varepsilon} \cdot \bar{\bar{p}} : \bar{S} \cdot \bar{\varepsilon}$ , kde  $\bar{\bar{p}}$  je tenzor fotoelastických konstant.

Poněvadž  $\bar{S}$  i  $\bar{\varepsilon}$  jsou symetrické tenzory 2. řádu, musí být  $\bar{\bar{p}}$  tenzor 4. řádu,

symetrický vůči záměně prvních dvou a/nebo druhých dvou indexů,  $p_{ijkl} = p_{jikl} = p_{ijlk} = p_{jilk}$ .

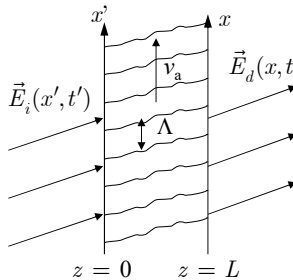
Pokud se v materiálním prostředí šíří roviná akustická vlna s vektorem elastické výchylky

$\vec{\xi}(\vec{r}, t) = \vec{\xi}_0 \exp(i\vec{K} \cdot \vec{r} - i\Omega t)$ , dojde k modulaci permitivity dané reálným výrazem

$$\begin{aligned} \Delta \bar{\varepsilon}(\vec{r}, t) &= -\bar{\varepsilon} \cdot \bar{\bar{p}} : \left\{ \frac{1}{2} \nabla \left( \vec{\xi}_0 e^{i(\vec{K} \cdot \vec{r} - \Omega t)} \right) + c.c. \right\} \cdot \bar{\varepsilon} \\ &= \frac{\Omega}{v_a} \bar{\varepsilon} \cdot \bar{\bar{p}} : \vec{n} \vec{\xi}_0 \cdot \bar{\varepsilon} \sin(\vec{K} \cdot \vec{r} - \Omega t) = \Delta \bar{\varepsilon} \sin(\vec{K} \cdot \vec{r} - \Omega t). \end{aligned}$$

Modulace permitivity způsobená akustickou vlnou má tedy tvar rovinné postupné vlny.

## Difrakce rovinné vlny na postupné akustické vlně v izotropním prostředí



V lineárním prostředí musí obecně platit

$$\vec{E}_d(x, z = L, t) = \int_{-\infty}^t \int_{-\infty}^{\infty} \bar{T}(x, x', t, t') \cdot \vec{E}(x', z = 0, t') dt' dx'.$$

Akustická vlna je periodická v souř.  $x$  s periodou  $\Lambda$  a v čase s periodou  $\Omega$  a šíří se rychlostí  $v_a$ .

$$\bar{T}(x, x', t, t') = \sum \bar{T}_q(x - x', t - t') e^{iq(K_x x - \Omega t)}.$$

Pro rovinnou dopadající vlnu  $\vec{E}_i(x', z = 0, t') = \vec{E}_0 e^{i(k_{ix} x' - \omega_i t')}$  má difrakované pole tvar

$$\begin{aligned} \vec{E}_d(x, z = L, t) &= \sum_q \int_{-\infty}^t \int_{-\infty}^{\infty} \bar{T}_q(\xi, \tau) \cdot \vec{E}_0 e^{-i(k_{ix} \xi - \omega_i \tau)} d\xi d\tau e^{i[(k_{ix} + qK_x)x - (\omega_i + q\Omega)t]} \\ &= \sum_q \vec{E}_q e^{i[(k_{ix} + qK_x)x - (\omega_i + q\Omega)t]}, \end{aligned}$$

na výstupu je tedy superpozice rovinných vln, jejichž  $x$ -ové složky vlnových vektorů jsou

$$k_{d,qx} = k_{ix} + qK_x.$$

## Elastooptický a fotostrikční efekt

Předchozí analýza brala v úvahu pouze působení akustické vlny na optické záření a nikoli naopak.

Celková změna vnitřní energie objemové jednotky látky při současném působení elektrického pole a elastickej deformace je  $dU = \vec{E} \cdot d\vec{D} + \bar{T} : d\bar{S}$ .

$$\text{Zřejmě } \vec{D} = \epsilon_0(\bar{\varepsilon} + \Delta\bar{\varepsilon}) \cdot \vec{E} = \epsilon_0(\bar{\varepsilon} - \bar{\varepsilon} \cdot \bar{p} : \bar{S} \cdot \bar{\varepsilon}) \cdot \vec{E}.$$

$$\text{Zavedeme nový termodynamický potenciál } V = U - \vec{E} \cdot \vec{D}, \quad dV = -\vec{D} \cdot d\vec{E} + \bar{T} : d\bar{S}.$$

$V$  musí tedy mít nezávislé proměnné  $\vec{E}$  a  $\bar{S}$ . Pak ale

$$\frac{\partial V}{\partial E_j \partial S_{lm}} = -\frac{\partial D_j}{\partial S_{lm}} = \epsilon_0 \epsilon_{jr} \epsilon_{ks} p_{rslm} E_k = \frac{\partial T_{lm}}{\partial E_j}; \quad \text{integrací získáme}$$

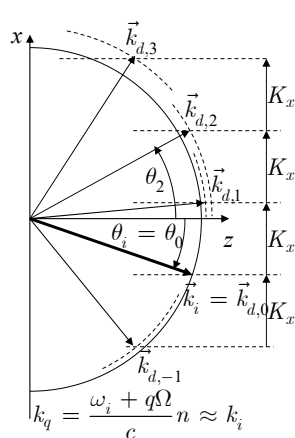
$$T_{rs} = c_{rslm} S_{lm} + \underbrace{\frac{1}{2} \epsilon_0 \epsilon_{jl} \epsilon_{km} p_{lmrs} E_j E_k}_{\substack{\text{elastická} \\ \text{deformace}}} \underbrace{E_k}_{\substack{\text{fotostrikce} \\ \text{(stimulovaný Brillouinův jev)}}}.$$

$\epsilon \approx 2$ ,  $p \approx 0.2$ ,  $c \approx 10^{10} \div 10^{11} \text{ N.m}^{-2}$ . Pro typické hodnoty  $S \approx 10^{-6}$ ,  $E \approx 10^6 \text{ V.m}^{-1}$

je 1. člen řádu  $10^4$  až  $10^5$ , druhý řádu  $10^{-1}$  až  $10^0$ ; je tedy zanedbatelný.

## Konstrukce difrakovaných vln na výstupu ze sloupce akustické vlny

Diagram vlnových vektorů



Frekvenční posuv difrakovaných vln:

$$\omega_{d,q} = \omega_i + q\Omega \approx \omega_i$$

Vlnové vektory difrakovaných vln:

$$k_{d,qx} = k_{ix} + qK_x, \quad k_{d,qz} = \sqrt{k_q^2 - (k_{ix} + qK_x)^2} \\ \approx \sqrt{k_0^2 n^2 - (k_{ix} + qK_x)^2}$$

Výstupní úhly difrakovaných vln

$$\sin \theta_q \approx \sin \theta_0 + q \frac{K_x}{k_0 n} = \sin \theta_0 + q \frac{\lambda}{n \Lambda}.$$

ÚFE

27

## Účinnost AO interakce v přiblžení teorie vázaných vln

Vlnová rovnice pro intenzitu elektrického pole

$$\nabla \nabla \cdot \vec{E} - \Delta \vec{E} = -\frac{1}{c^2} \frac{\partial^2}{\partial t^2} [\bar{\varepsilon}(\vec{r}, t) \cdot \vec{E}(\vec{r}, t)]; \text{ pro } \vec{E}(\vec{r}, t) = \bar{y}^0 E(x, z, t) \text{ platí}$$

$$\frac{\partial^2}{\partial x^2} E(x, z, t) + \frac{\partial^2}{\partial z^2} E(x, z, t) - \frac{1}{c^2} \frac{\partial^2}{\partial t^2} [n^2(x, t)] E(x, z, t) = 0;$$

**Výchozí předpoklady teorie vázaných vln:**

$$E(x, z, t) \approx \sum_{q=-\infty}^{\infty} E_q(z) e^{i[(k_{ix} + qK_x)x + k_{q,z}z - (\omega_i + q\Omega)t]},$$

$$E_q(z) \text{ je pomalu proměnná komplexní amplituda, } \left| \frac{\partial^2 E_q(z)}{\partial z^2} \right| \ll k^2 E_q(z), \quad k \frac{\partial E_q(z)}{\partial z}.$$

$$n(x, t) = \sqrt{n^2 + \Delta\varepsilon \sin(Kx - \Omega t)} \approx n + n_1 \sin(Kx - \Omega t),$$

$$n_1 \approx \frac{\Delta\varepsilon}{2n} \approx -\frac{1}{2} n^3 p S_0 \ll n.$$

$$n^2(x, t) \approx n^2 + 2n n_1 \sin(Kx - \Omega t), \quad n_1 \approx \frac{\Delta\varepsilon}{2n} = -\frac{1}{2} n^3 p S_0 \ll n.$$

ÚFE

28

Zavedeme parametry

$$\Delta\varphi = \frac{k_0 n_l L}{\cos\theta_i}, \quad Q = \frac{2\pi\lambda L}{n\Lambda^2 \cos\theta_i}, \quad \alpha = -\frac{k_{ix}}{K} = -\frac{k}{K} \sin\theta_i = -\frac{n\Lambda}{\lambda} \sin\theta_i.$$

Dosazením rozvoje do vlnové rovnice dostaneme po zanedbání malých členů vyšších rádů a srovnání členů se stejným exponentem soustavu diferenciálních rovnic 1. rádu

$$\frac{\partial E_q(z)}{\partial z} = \frac{\Delta\varphi}{2L} (E_{q+1}(z) - E_{q-1}(z)) + \frac{iQ}{2L} (2\alpha - q) E_q(z), \quad q = 0, \pm 1, \pm 2, \dots$$

Pro přehlednost soustavu rozepišme:

$$\frac{d}{dz} \begin{pmatrix} \vdots \\ E_{-1} \\ E_0 \\ E_1 \\ \vdots \end{pmatrix} = \begin{pmatrix} -i(2\alpha + 2)\frac{Q}{2L} & \frac{\Delta\varphi}{2L} & 0 & \dots & \dots \\ -\frac{\Delta\varphi}{2L} & -i(2\alpha + 1)\frac{Q}{2L} & \frac{\Delta\varphi}{2L} & 0 & \dots \\ 0 & -\frac{\Delta\varphi}{2L} & -i2\alpha\frac{Q}{2L} & \frac{\Delta\varphi}{2L} & 0 \\ \dots & 0 & -\frac{\Delta\varphi}{2L} & -i(2\alpha - 1)\frac{Q}{2L} & \frac{\Delta\varphi}{2L} \\ \dots & \dots & 0 & -\frac{\Delta\varphi}{2L} & -i(2\alpha - 2)\frac{Q}{2L} \end{pmatrix} \cdot \begin{pmatrix} \vdots \\ E_{-1} \\ E_0 \\ E_1 \\ \vdots \end{pmatrix}$$

### Ramanův-Nathův a Braggův režim difrakce

Ze soustavy rovnic vyplývá, že jsou vzájemně vázány **vždy jen sousední difrakční rády**. To je důsledek čistě sinusového charakteru modulace.

Diferenciální rovnici pro  $E_q$  je možné v limitních případech  $Q \ll 1$  a  $Q \gg 1$  řešit analyticky:

1.  $Q \ll 1$  – Ramanův – Nathův režim
2.  $Q \gg 1$  – Braggův režim

$Q \ll 1$ : **Ramanův-Nathův režim.** Pro  $Q = 0$  má soustava rovnic

$$\frac{\partial E_q(z)}{\partial z} = \frac{\Delta\varphi}{2L} (E_{q+1}(z) - E_{q-1}(z)), \quad q = 0, \pm 1, \pm 2, \dots$$

s počáteční podmínkou  $E_q(0) = E_0 \delta_q$

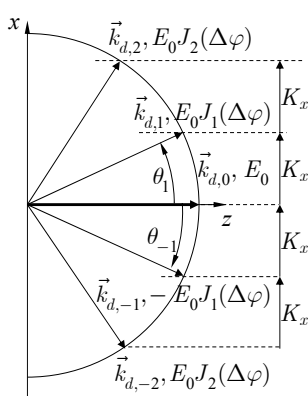
analytické řešení  $E_q(L) = E_0 J_q(\Delta\varphi)$ ,  $q = 0, \pm 1, \pm 2, \dots$

To je možno fyzikálně snadno interpretovat jako *fázovou modulaci dopadající vlny na sloupcí akustické vlny*:

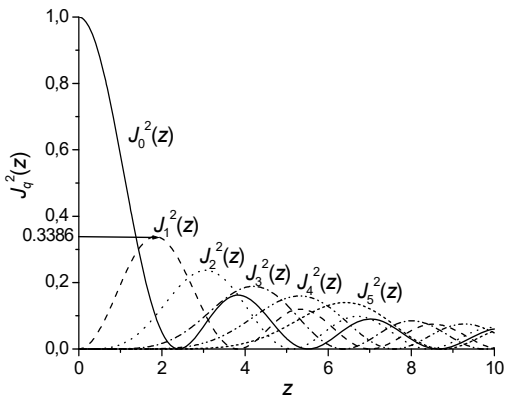
$$E(x, L, t) = E_0 e^{i(k_{ix} - \omega_i t)} e^{i\Delta\varphi \sin(Kx - \Omega t)} = E_0 \sum_q J_q(\Delta\varphi) e^{i[(k_{ix} + qK)x - i(\omega_i + q\Omega)t]}.$$

$$\text{Přesnější řešení soustavy s } Q \ll 1, \quad q \ll \alpha \quad \text{dá} \quad E_q(L) = E_0 J_q \left[ \Delta\varphi \frac{\sin(Q\alpha/2)}{Q\alpha/2} \right].$$

### Ramanův-Nathův režim:



Difrakce do mnoha řádů, difrakční účinnost v jednotlivých rádech je dána kvadráty Besselovy funkce  $J_q^2(\Delta\varphi)$ , podobně jako u tenkého amplitudového hologramu se sinusovou modulací amplitudové propustnosti.



ÚFE

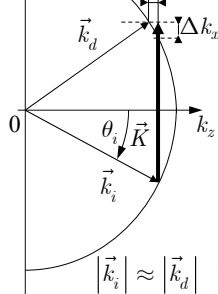
31

### Braggův režim

Braggův režim nastává pro  $Q \gg 1$ , prakticky pro  $Q \geq 10$ .

Pak lze zanedbat vazbu do ostatních řádů kromě případu, kdy  $q \approx 2\alpha$ , tj. pro  $q = \pm 1$

$$\sin \theta_i \approx \pm \frac{1}{2} \frac{K}{k_i} \quad \text{pro } q = \pm 1. \quad \text{Pak } \frac{Q}{2}(1 - 2\alpha) = \frac{2\pi\lambda L}{2n\Lambda^2 \cos \theta_i} (1 + 2 \frac{n\Lambda}{\lambda} \sin \theta_i) = \\ = \frac{KL}{2k \cos \theta_i} (K + 2k \sin \theta_i) \cong L \tan \theta_i \Delta k_x = \Delta k_z L.$$



Rovnice vázanych vln jsou pak

$$\frac{dE_{d,0}}{dz} = \frac{\Delta\varphi}{2L} E_{d,1}, \\ \frac{dE_{d,1}}{dz} = -\frac{\Delta\varphi}{2L} E_{d,0} + i \frac{\Delta k_z}{2L} E_{d,1};$$

Řešení s počáteční podmínkou  $E_{d,0}(0) = E_0$ ,  $E_{d,1}(0) = 0$  je

$$E_{d,1}(L) = E_0 \frac{\Delta\varphi}{2\sigma} e^{-\frac{i\Delta k_z L}{2}} \sin \sigma, \quad \text{kde } \sigma = \sqrt{\left(\frac{\Delta k_z}{2} L\right)^2 + \left(\frac{\Delta\varphi}{2}\right)^2}.$$

$$\text{Tedy } |E_{d,1}(L)|^2 = E_0^2 \left(\frac{\Delta\varphi}{2\sigma}\right)^2 \sin^2 \sigma.$$

ÚFE

32

### Braggův režim

Difrakční účinnost

$$\eta = \left| \frac{E_{d,1}(L)}{E_{d,0}(0)} \right|^2 = \left( \frac{\Delta\varphi}{2\sigma} \right)^2 \sin^2 \sigma \quad \text{Fázový synchronismus: } \Delta k_z L \approx 0, \text{ t.j. } \vec{k}_i \pm \vec{K} \approx \vec{k}_d \\ (\text{podmínka zachování kvaziimpuluš}).$$

$$\text{Platí } \frac{\Delta\varphi}{2} = \frac{2\pi n_1}{2\lambda \cos \theta_i} L \approx \frac{\pi}{2\lambda} n^3 p S_0 L. \quad S_0 \text{ můžeme vyjádřit jako } S_0 = \sqrt{\frac{2\Pi}{\rho v_a^3}},$$

kde  $\Pi = \frac{1}{2} \rho v_a^3 S_0^2$  [W.m<sup>-2</sup>] je hustota akustického výkonu. Pak

$$\frac{\Delta\varphi}{2} = \frac{\pi}{2\lambda} n^3 p S_0 L = \sqrt{\frac{n^6 p^2}{\rho v_a^3} \frac{\pi^2 L^2}{2\lambda^2} \Pi} = \sqrt{\frac{\Pi}{\Pi_0}}, \quad \text{kde } \Pi_0 = \frac{2\lambda^2}{\pi^2 L^2 M_2}, \quad \text{a}$$

$$M_2 = \frac{p^2 n^6}{\rho v^3} \quad \text{je činitel akustooptické kvality materiálu.}$$

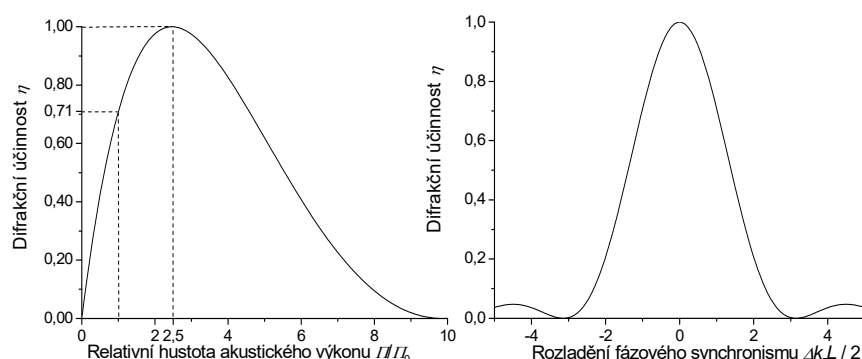
$$\text{Při fázovém synchronismu } \Delta k_z L = 0 \text{ je difrakční účinnost } \eta = \sin^2 \frac{\Delta\varphi}{2} = \sin^2 \sqrt{\frac{\Pi}{\Pi_0}},$$

$$\text{pro } \eta \leq 0.7 \text{ lze v dobrém přiblžení psát } \eta \approx \frac{\Pi}{\Pi_0} \left( \frac{\sin(\Delta k_z L / 2)}{\Delta k_z L / 2} \right)^2.$$

ÚFE

33

### Účinnost difrakce v Braggově režimu



Při hustotě akustického výkonu  $\Pi = \Pi_0$  dosahuje účinnost 71%;

100% účinnosti dosahneme až při  $\Pi = 2.47 \Pi_0$ .

Typická účinnost akustooptických prvků pracujících v Braggově režimu bývá proto 70–90%, vyšší spíš jen výjimečně.

ÚFE

34

## Technické aplikace akustooptických prvků

Dělení podle účelu:

1. Deflektory laserového svazku: úhel vychýlení je funkcí frekvence
2. Modulátory laserového svazku: účinnost závisí na akustickém výkonu
3. Akustooptické laditelné filtry: fázový synchronismus je spektrálně citlivý
4. Akustooptické prvky pro zpracování (elektronických) signálů

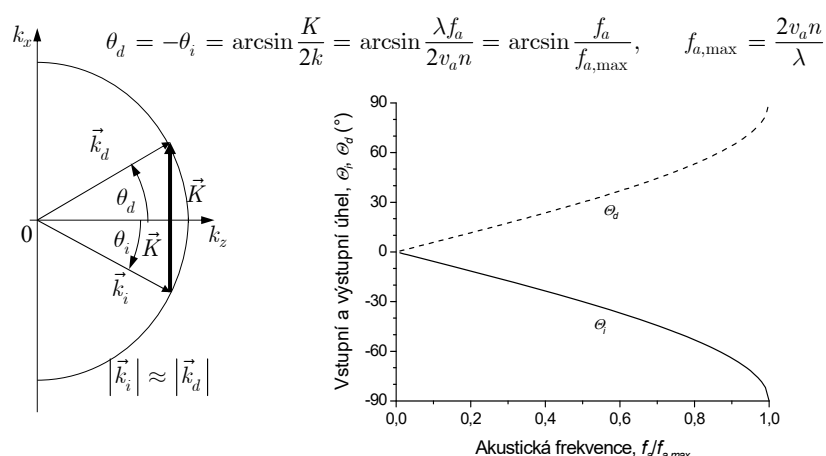
Dělení podle typu interakce

1. Prvky využívající izotropní AO interakce (v opticky izotropním prostředí)
  - a) se soufázovým akustickým měničem
  - b) s fázovanou řadou měničů (rovinná řada, stupňovitá řada)
2. Prvky využívající anizotropní interakce (v opticky aktivním prostředí)
3. Prvky využívající difrakce na stojaté akustické vlně

Dělení podle konstrukce

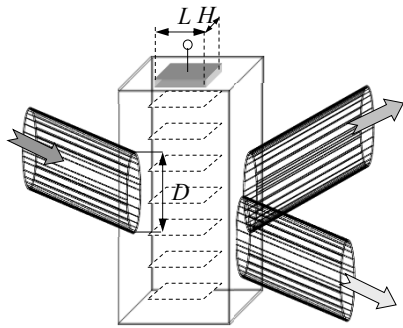
1. Objemové prvky
2. Vlnovodné prvky (integrovaně-optické)

## Akustooptická interakce v Braggově režimu v izotropním prostředí



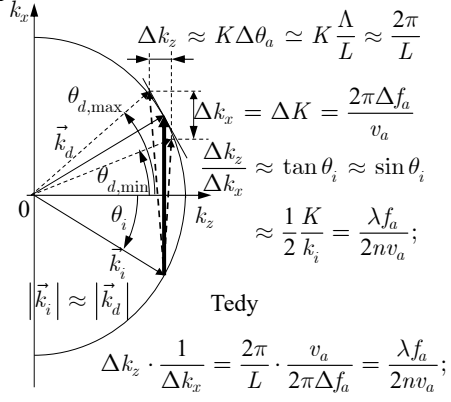
### Akustooptické deflektory laserového svazku: vychylování změnou frekvence $f_a$

AO vychylování v izotropním prostředí



$$\sin \theta_d \approx \sin \theta_i + \frac{K}{k}; \quad \theta_d \approx \theta_i + \frac{\lambda f_a}{v_a};$$

Úhel vychýlení je přibližně lineárně závislý na frekvenci akustické vlny.



Tedy

$$\Delta k_z \cdot \frac{1}{\Delta k_x} = \frac{2\pi}{L} \cdot \frac{v_a}{2\pi\Delta f_a} = \frac{\lambda f_a}{2nv_a};$$

$$\text{Úhel rozmítání } \Delta\theta_d \approx \frac{\lambda}{v_a} \Delta f_a.$$

### Počet rozlišitelných bodů deflektoru:

$$N = \frac{\Delta\theta_d}{\Delta\theta_{opt}} \approx \frac{\lambda\Delta f_a}{v_a} \frac{D}{\lambda} = \frac{D}{v_a} \Delta f_a = \tau \cdot \Delta f_a, \quad \text{tedy} \quad N = \tau \cdot \Delta f_a$$

Počet rozlišitelných bodů deflektoru je dán součinem časové konstanty a frekvenčního zdvihu. Frekvenční zdvih je omezen maximálním přípustným narušením fázového synchronismu:

$$\Delta f_a \leq \frac{2nv_a^2}{\lambda f_a L} \iff \text{délka oblasti AO interakce by měla být co nejmenší}$$

Avšak: deflektor musí pracovat v Braggově režimu, jinak má malou difrakční účinnost:

$$Q = \frac{2\pi\lambda L}{n\Lambda^2 \cos\theta_i} \approx \frac{2\pi\lambda L f_a^2}{nv_a^2} \geq 4\pi \implies L \text{ musí být dostatečně velké. Odtud plyne podmínka}$$

$$\frac{2nv_a^2}{\lambda f_a^2} = L_{\min} \leq L \leq L_{\max} = \frac{2nv_a^2}{\lambda f_a \Delta f_a} \text{ pro délku interakční oblasti. Tedy } \Delta f_a \leq f_a.$$

### Ovládací akustický výkon deflektoru

$$P_a = L \cdot H \cdot \Pi_0 = \frac{2\lambda^2}{\pi^2 M_2} \cdot \frac{H}{L} \iff \text{pro malý výkon musí být poměr } H/L \text{ co nejmenší.}$$

V každém AO materiálu se akustická vlna šíří s útlumem,  $\alpha \approx \Gamma f_a^2$ .

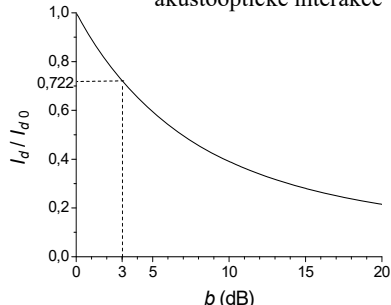
### Difracce na tlumené akustické vlně:

1. pokles účinnosti difracce vlivem útlumu,  $E_d(x) \sim \bar{S}(x) = \bar{S}_0 e^{-\alpha x}$ , tedy
2. zvětšení úhlové divergence difrakovaného svazku  $E_d(x) \approx E_{d,0} e^{-\alpha x}$ , vlivem nehomogenního rozložení amplitudy.

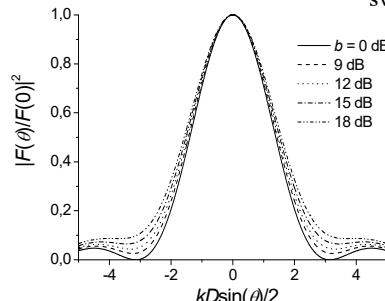
$$I_d = I_{d,0} \int_0^D e^{-2\alpha x} dx = I_{d,0} \frac{1 - e^{-2\alpha D}}{2\alpha D}, \quad e^{-2\alpha D} = 10^{-b/10}; \quad b = 20\alpha D / \ln 10,$$

$$|F(\theta)|^2 = \left| \int_0^D e^{-\alpha x} e^{-ikx \sin \theta} dx \right|^2 = \frac{1 + e^{-2\alpha D} - 2e^{-\alpha D} \cos(kD \sin \theta)}{(\alpha D)^2 + (kD \sin \theta)^2}.$$

Vliv útlumu akustické vlny na účinnost akustooptické interakce



Vliv útlumu na divergenci difrakovaného svazku



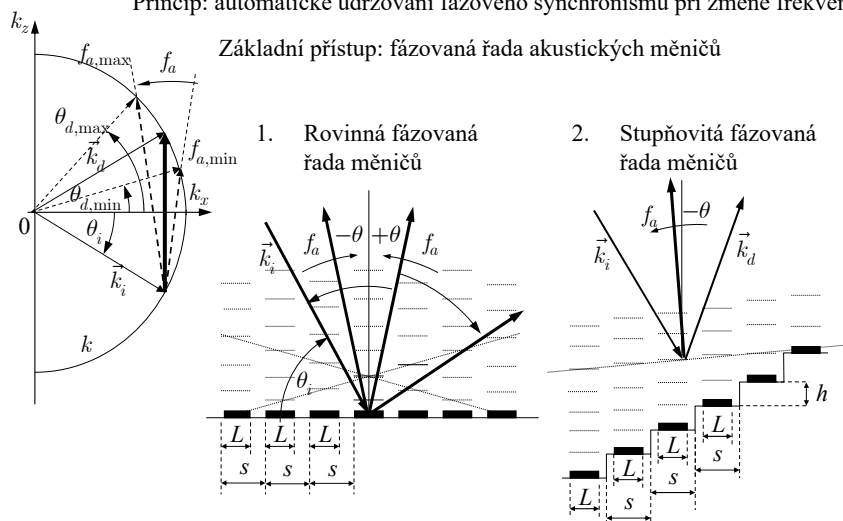
Technické řešení pro velký počet rozlišitelných bodů:

1. Silně eliptický optický svazek s velkým poměrem  $D/H$  (složitá optická soustava vyžadující soustavu hranolů nebo válcové čočky)
2. Použití materiálu s malou akustickou rychlosí, ale malým akustickým útlumem (??)
3. Zajištění účinné generace akustické vlny ve velkém frekvenčním pásmu

## Rozšíření pásma AO interakce: deflektory s řízeným akustickým svazkem

Princip: automatické udržování fázového synchronismu při změně frekvence

Základní přístup: fázovaná řada akustických měničů



UFE

41

Difrakční účinnost v přiblížení malých účinností (Gordonova-Dixonova metoda)

$\varphi$  je relativní fázový posuv mezi sousedními segmenty, pro rovinou řadu nejčastěji  $\varphi = \pi$ , pro stupňovitou řadu  $\varphi = \varphi_0 + \frac{2\pi f_a h}{n}$

Směr „difrákčních maxim“  $\pm\theta = \pm\frac{v_a}{2sf}$  pro rovinou řadu,

stupňovitá řada má jediné hlavní maximum  $\theta = \frac{h}{s} \pm \frac{v}{2sf}$ .

Rovinná řada využívá pouze polovinu akustického výkonu, stupňovitá celý výkon.

Pro maximální celkovou délku měniče lze odvodit  $L_{tot,max} = N_m s \leq \frac{16nv_a^2}{\lambda f_a \Delta f_a}$ ,  
měnič je možno prodloužit  $2 \left( \frac{f_0}{\Delta f} \right)^2 \approx 4 \div 8 \times$ .

Úspora akustického výkonu: u roviné řady až čtyřnásobná, u stupňovité řady až osminásobná.

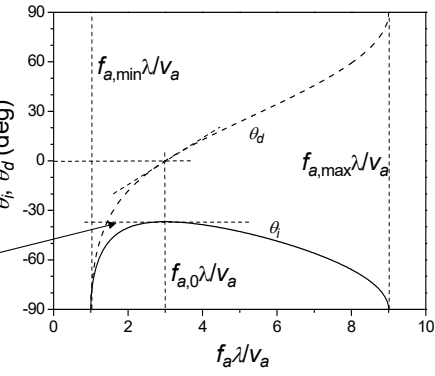
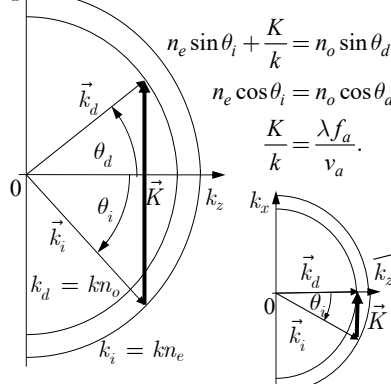
OFF

42

## Akustooptická interakce v anizotropním prostředí

Interakce v jednoosém prostředí v rovině kolmé k optické ose se změnou polarizace

Podmínka fázového synchronismu:



$$f_{a,\min} = \frac{v_a}{\lambda} |n_e - n_o|, \quad f_{a,\max} = \frac{v_a}{\lambda} (n_e + n_o), \quad f_{a,0} = \frac{v_a}{\lambda} \sqrt{n_e^2 - n_o^2}$$

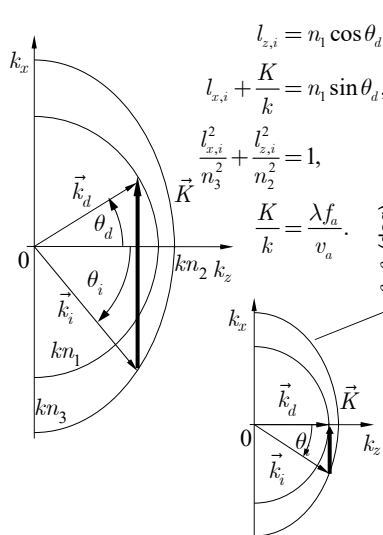
Nevýhoda: frekvence  $f_{a,0}$  je prakticky u všech AO materiálů příliš vysoká.

ÚFE

43

## Abnormální akustooptická interakce v anizotropním prostředí

(jednoosé) prostředí s optickou aktivitou; ve dvojosém prostředí je zpravidla  $f_a$  příliš velká

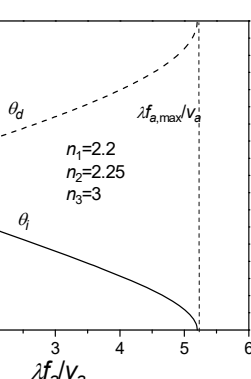


$$l_{z,i} = n_i \cos \theta_d, \quad \theta_i = \arctan \frac{l_{x,i}}{l_{z,i}}$$

$$l_{x,i} + \frac{K}{k} = n_i \sin \theta_d,$$

$$\frac{l_{x,i}^2}{n_3^2} + \frac{l_{z,i}^2}{n_2^2} = 1,$$

$$\frac{K}{k} = \frac{\lambda f_a}{v_a}$$



ÚFE

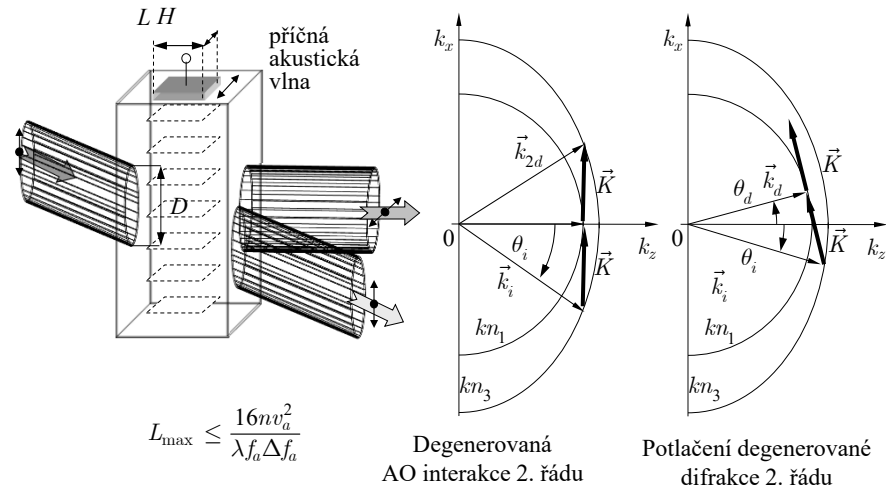
44

### AO vychylování v anizotropním prostředí

Výhody: snížení úhlové selektivity interakce  $\Rightarrow$  prodloužení interakční délky  $\Rightarrow$  snížení výkonu

Difrakce na příčné akustické vlně  $\Rightarrow$  nižší akustická rychlosť

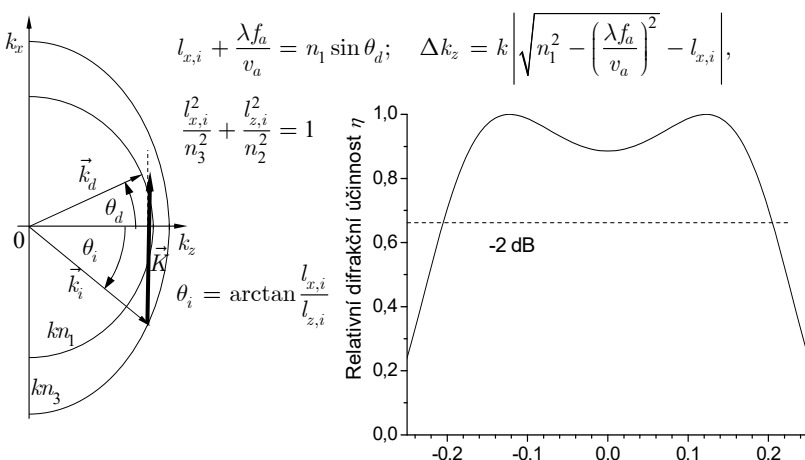
$\Rightarrow$  zvětšení počtu rozlišitelných bodů, *polarizační rozlišení difraktované vlny*



ÚFE

45

Frekvenční závislost difrakční účinnosti při optimální konfiguraci abnormální AO interakce



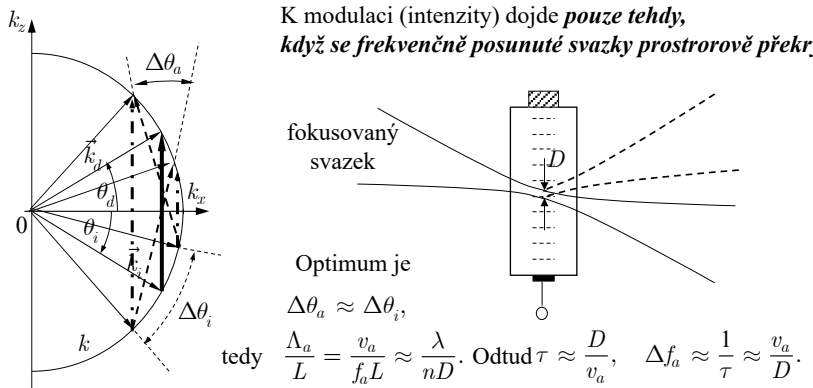
ÚFE

46

## Akustooptická modulace

Komplementární problém k akustooptickému vychylování:

K modulaci (intenzity) dojde *pouze tehdy, když se frekvenčně posunuté svazky prostrorově překrývají.*



Pro délku měniče dostáváme opět  $L_{\min} = \frac{2nv_a^2}{\lambda f_a^2} < L \approx \frac{nv_a^2}{\lambda f_a \Delta f_a}$ , tedy  $\Delta f_a < f_a / 2$ .

Pro  $\Delta f_a = 50$  MHz,  $\tau \approx 20$  ns je  $D \approx \frac{v_a}{\Delta f_a} \approx \frac{3 \times 10^3}{50 \times 10^6} = 60$  μm.

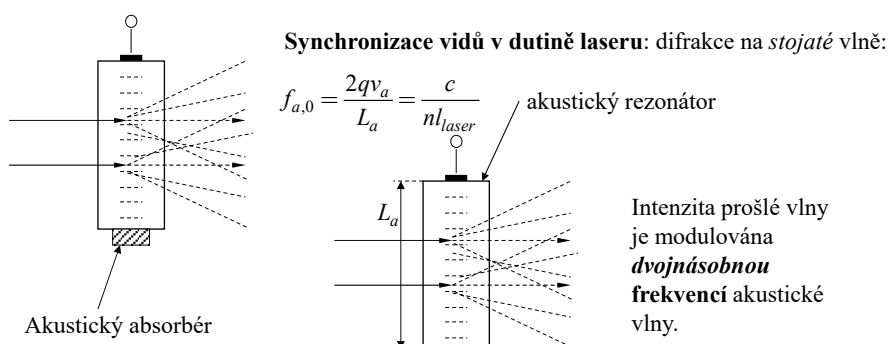
ÚFE

47

## Akustooptické modulátory pro klíčování jakosti a synchronizaci vidů

Ramanův-Nathův nebo Braggův režim; cílem je dostatečný pokles intenzity 0. rádu

**Klíčování jakosti:** difrakce na běžící akustické vlně



$$\Delta\bar{\epsilon}(\vec{r}, t) = \Delta\bar{\epsilon} [\sin(\vec{K} \cdot \vec{r} - \Omega t) - \sin(\vec{K} \cdot \vec{r} + \Omega t)] = -2\Delta\bar{\epsilon} \cos(\vec{K} \cdot \vec{r}) \sin \Omega t.$$

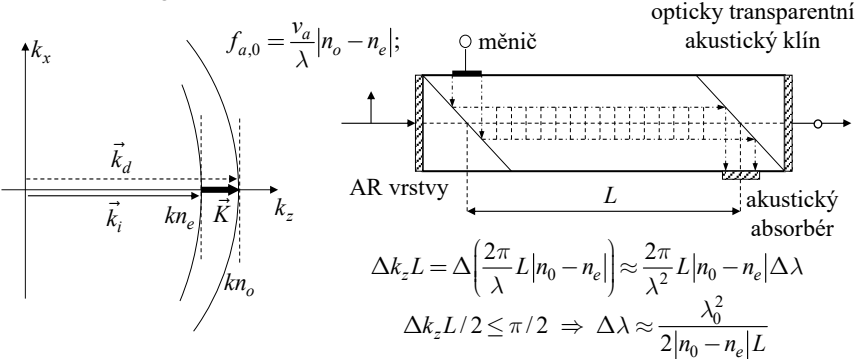
$$I_0 = I_0 [(\Delta\bar{\epsilon})^2] = f[\sin^2(\Omega t)] = f[(1 - \cos 2\Omega t)/2] = g(2\Omega t).$$

ÚFE

48

## Akustooptické laditelné filtry

Základní konfigurace: **kolineární AO interakce**



Přeladitelnost:

$$\lambda = \frac{v_a}{f_a} |n_o(\lambda) - n_e(\lambda)| \approx \frac{v_a}{f_a} |n_o(\lambda_0) - n_e(\lambda_0)|$$

**Výhody kolineární interakce:**

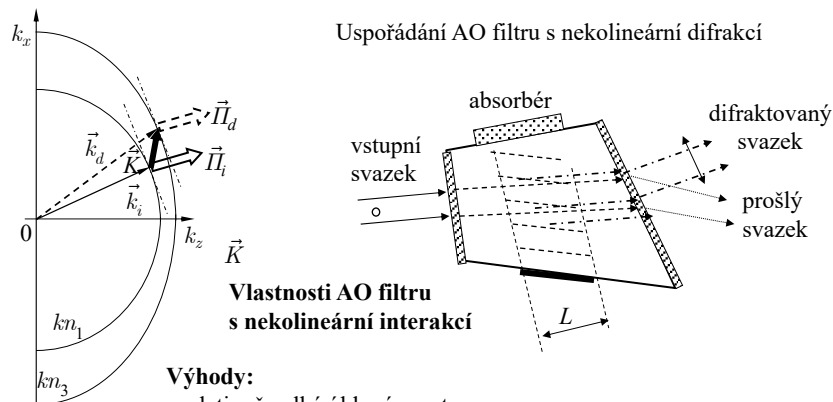
- úzké spektrální pásmo
- relativně velká úhlová apertura

**Nevýhody:**

- relativně vysoký střední akustický kmitočet
- složité uspořádání

## Akustooptické filtry s nekolineární AO interakcí

Uspořádání AO filtru s nekolineární difrací



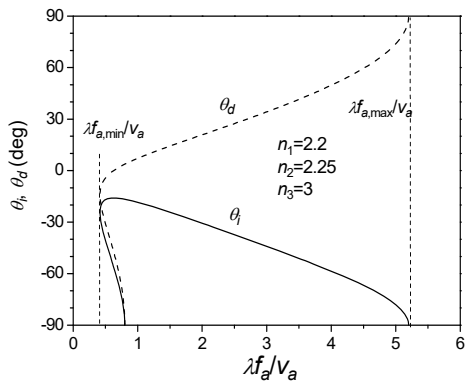
**Výhody:**

- relativně velká úhlová apertura
- směry šíření energie dopadající i difraktované vlny v krystalu jsou stejné a tedy interakce je účinná
- „odfiltrovaný“ svazek se liší polarizací i směrem šíření na výstupu
- velká flexibilita uspořádání změnou konfigurace

**Nevýhody:**

- menší selektivita, šířka pásma roste s kvadrátem vln. délky

### Optimální konfigurace nekolineárního AO ladičelného filtru s minimální frekvencí



Akustická frekvence filtru je v blízkosti minimální frekvence pro nekolineární AO interakci.

Parametry typického filtru v TeO<sub>2</sub>:

$$\Delta\lambda \approx 10 \div 100 \text{ nm}$$

$$f_{a,0} \approx 40 \div 200 \text{ MHz}$$

$$NA \approx 10' \div 20'$$

$$P_a \leq 0,2 \div 2 \text{ W}$$

$$\lambda \approx 0,4 \div 10 \mu\text{m}$$

ÚFE

51

### Vybrané akustooptické materiály

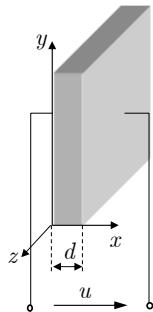
| Materiál                        | optická propust.<br>(μm) | $n$<br>( $n_o$ , $n_e$ )   | $M_2 \times 10^{15}$             | $v_a$<br>(km/s)            | $Z_a$<br>(kg/m <sup>2</sup> s) | Akust. polarizac e |
|---------------------------------|--------------------------|----------------------------|----------------------------------|----------------------------|--------------------------------|--------------------|
| Tavený křemen                   | 0,2<br>4,5               | 1,457                      | 1,56   <br>0,47 ⊥                | 5,96<br>3,76               | 13,12                          | L                  |
| Sklo SF59                       | 0,46<br>2,5              | 1,95                       | 19,1                             | 3,26                       | 20,5                           | L                  |
| LiNbO <sub>3</sub>              | 0,5<br>4,5               | 2,202<br>2,286             | 7                                | 6,57                       | 30,6                           | L                  |
| PbMoO <sub>4</sub>              | 0,4<br>5,5               | 2,262<br>2,386             | 36,3   <br>36,1 ⊥                | 3,63                       | 25,22                          | L                  |
| TeO <sub>2</sub>                | 0,35<br>5                | 2,26<br>2,412<br>opt. akt. | 34,5 ⊥<br>25,6   <br><b>1200</b> | 4,2<br><b>0,616</b><br>3,7 | 25,2<br>3,7                    | L<br>S             |
| Hg <sub>2</sub> Cl <sub>2</sub> | 0,4<br>30                | <b>1,97</b><br><b>2,65</b> | 506<br>640                       | 1,62<br><b>0,34</b><br>2,4 | 11,6<br>2,4                    | L<br>S             |
| GaP                             | 0,6<br>10                | 3,31                       | 44,6                             | 6,32                       | 26,1                           | L                  |

ÚFE

52

### Buzení akustické vlny piezoelektrickým měničem (1)

Měnič jako akustický rezonátor



Piezoelektrické prostředí:

$$\begin{aligned}\bar{T} &= \bar{c}^D : \bar{S} - \tilde{h} \cdot \vec{D}, \\ \vec{E} &= -\tilde{h} : \bar{S} + \bar{\eta}^S \cdot D, \\ \bar{\eta}^S &= (\bar{\varepsilon}^S)^{-1}, \quad \tilde{h} = \bar{\eta}^S \cdot \tilde{e}, \\ c_{jklm}^D &= c_{jklm}^E + \eta_{pr}^S e_{pjk} e_{rlm}, \\ \bar{c}^D &= \bar{c}^E + \tilde{e} \cdot \bar{\eta}^S \cdot \tilde{e} \text{ je „piezoelektricky zpevněný“ tenzor elastických konstant,} \\ \tilde{e} &\text{ je piezoelektrický tenzor (3. rádu).}\end{aligned}$$

V konfiguraci podle obrázku při diagonálním tenzoru  $\bar{\eta}^S$  má  $\vec{E}$  i  $\vec{D}$  pouze složku  $x$ , t.j. 1.

$$\text{Zavedeme akustickou rychlosť } \vec{u} = \frac{d\vec{\xi}}{dt}. \text{ Pak } \frac{dS_{jk}}{dt} = \frac{1}{2} \left( \frac{du_j}{dx_k} + \frac{du_k}{dx_j} \right).$$

Časová derivace rovnic dá po doplnění Newtonovou silovou rovnicí soustavu rovnic

### Buzení akustické vlny piezoelektrickým měničem (2)

$$\begin{aligned}\frac{\partial T_\alpha}{\partial t} &= c_{\alpha\alpha}^D \frac{\partial u_l}{\partial x} - h_{l\alpha} \frac{\partial D_1}{\partial t}, \\ \frac{\partial E_1}{\partial t} &= -h_{l\alpha} \frac{\partial u_l}{\partial x} + \eta_{11}^S \frac{\partial D_1}{\partial t}, \quad \alpha = \begin{cases} 1 = (11) \text{ pro } l = 1, \\ 6 = (12) \text{ pro } l = 2, \\ 5 = (13) \text{ pro } l = 3. \end{cases} \quad \begin{matrix} \text{v závislosti na „polarizaci“} \\ \text{(směru kmitání)} \\ \text{akustické vlny.} \end{matrix} \\ \frac{\partial T_a}{\partial x} &= \rho \frac{\partial u_l}{\partial t},\end{aligned}$$

Pro harmonický časový průběh  $e^{j\Omega t}$  všech veličin můžeme soustavu rovnic integrovat

od  $x = 0$  do  $x = d$  s okrajovými podmínkami  $T_\alpha(0) = T_1$ ,  $T_\alpha(d) = T_2$ ,  $u_l(0) = u_1$ ,  $u_l(d) = u_2$ .

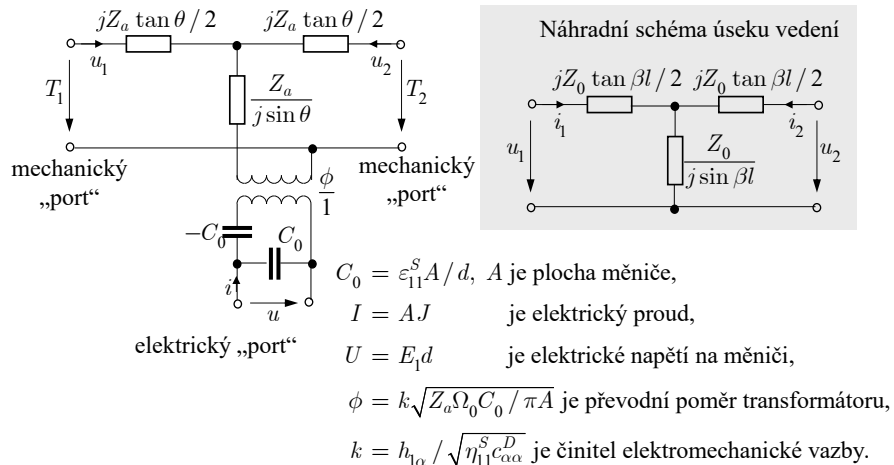
Po formálních úpravách můžeme výsledek zapsat ve tvaru

$$\begin{aligned}T_1 &= \frac{Z_a}{j \tan \theta} u_1 + \frac{Z_a}{j \sin \theta} u_2 + \frac{h_{1\alpha}}{i\Omega} J Z_a = \sqrt{c_{\alpha\alpha}^D \rho} = \rho v_a \text{ je akustická impednace,} \\ T_2 &= \frac{Z_a}{j \sin \theta} u_1 + \frac{Z_a}{j \tan \theta} u_2 + \frac{h_{1\alpha}}{j\Omega} J, \quad J = j\Omega D_1 \text{ je hustota indukčního proudu,} \\ J &= j\Omega \varepsilon_{11}^S E_1 - h_{1\alpha} \varepsilon_{11}^S u_1 - h_{1\alpha} \varepsilon_{11}^S u_2, \quad f_0 = \Omega_0 / 2\pi = v_a / 2d \text{ je půlvlnný rezonanční kmitočet}\end{aligned}$$

### Buzení akustické vlny piezoelektrickým měničem (3)

Předchozí soustavu rovnic lze interpretovat pomocí náhradního elektrického obvodu:

*Masonovo náhradní elektrické schéma piezoelektrického tloušťkového měniče*

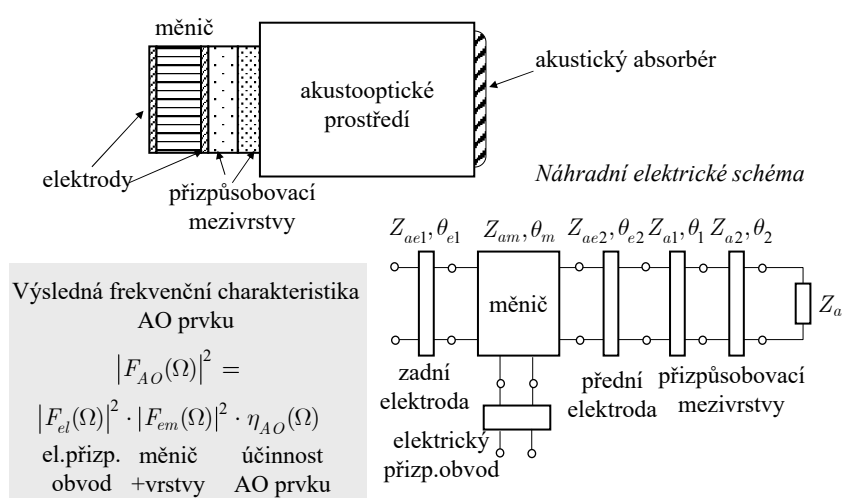


ÚFE

55

### Buzení akustické vlny piezoelektrickým měničem (4)

Frekvenční přenosovou charakteristiku měniče připojeného na akustooptické prostředí je možno analyzovat (optimalizovat) standardními metodami teorie elektrických obvodů.



ÚFE

56

### Vlastnosti vybraných piezoelektrických a akustických materiálů

| Materiál                    | $\rho$<br>(g/cm <sup>3</sup> ) | mód | orientace | $k$   | $\varepsilon_r$ | $v_a$ (km/s) | $Z_a = \rho \cdot v_a$ |
|-----------------------------|--------------------------------|-----|-----------|-------|-----------------|--------------|------------------------|
| $\alpha\text{-SiO}_2$<br>32 | 2.65                           | L   | X         | 0.098 | 4.58            | 5.75         | 15.2                   |
|                             |                                | S   | Y         | 0.137 | 4.58            | 3.85         | 10.2                   |
| $\text{LiNbO}_3$<br>3m      | 4.64                           | L   | 36°Y      | 0.49  | 38.6            | 7.4          | 33.9                   |
|                             |                                | S   | 163°Y     | 0.62  | 42.9            | 4.56         | 20.8                   |
| $\text{LiTaO}_3$<br>3m      | 7.45                           | L   | 47°Y      | 0.29  | 42.7            | 7.2          | 55.2                   |
|                             |                                | S   | X         | 0.44  | 42.6            | 4.22         | 31.4                   |
| $\text{ZnO}$<br>6mm         | 5.68                           | L   | Z         | 0.282 | 8.84            | 6.40         | 36.4                   |
|                             |                                | S   | 43°Y      | 0.322 | 8.63            | 3.21         | 18.4                   |
| In                          | 7.3                            | L   |           |       |                 | 2.3          | 16.8                   |
|                             |                                | S   |           |       |                 | 1.44         | 10.5                   |
| Au                          | 19                             | L   |           |       |                 | 3.24         | 62.5                   |
|                             |                                | S   |           |       |                 | 1.20         | 22.8                   |
| Ag                          | 10.5                           | L   |           |       |                 | 3.65         | 38.0                   |
|                             |                                | S   |           |       |                 | 1.61         | 16.7                   |
| Sn                          | 7.2                            | L   |           |       |                 | 3.32         | 23.9                   |
|                             |                                | S   |           |       |                 | 1.67         | 12.0                   |

ÚFE

57

### Akustooptické laditelné filtry v konfokální mikroskopii (OLYMPUS)

Nekolineární filtr na bázi  $\text{TeO}_2$

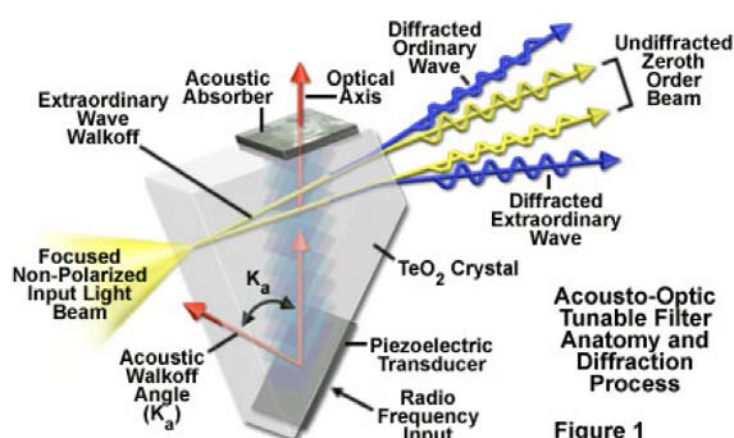


Figure 1

ÚFE

58

## Akustooptické laditelné filtry v konfokální mikroskopii (OLYMPUS)

Kolineární filtr na bázi krystalického křemene

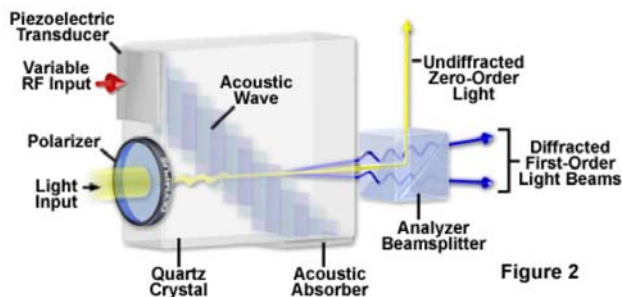


Figure 2

Komerční výrobce akustooptických zařízení: ISOMET, [www.isomet.com](http://www.isomet.com)

## AO laditelný filtr v KDP pro UV-VIS oblast

### Parameters of KDP Crystal

Parameter

At Wavelength 633 nm 480 nm 350 nm 220 nm 200 nm

Index of Refraction  $n_o$  1.507 1.515 1.532 1.596 1.622

$n_e$  1.467 1.470 1.487 1.543 1.562

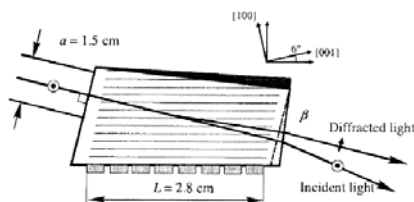
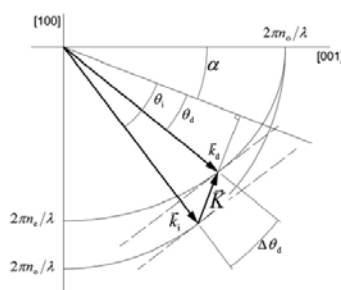
Density

$\rho = 2.34 \text{ g/cm}^3$

Effective photoelastic coefficient at 12° relative to Z axis in XZ plane,  $p_{eff} = 0.067$

Acoustic phase velocity at 6° relative to X axis in XZ plane,  $v = 1.66 \times 10^5 \text{ cm/s}$

AO figure of merit  $M_2 = 4.6 \times 10^{18} \text{ s}^3/\text{g}$

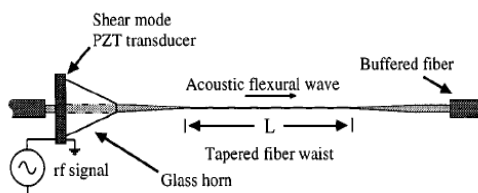


Spectral range: 220–650 nm  
 Spectral passband at 350 nm: 2 nm; at 633 nm: 67 nm  
 Rf range, 60–164 MHz  
 Linear aperture:  $1.5 \times 1.5 \text{ cm}^2$   
 Angular aperture: 1.2°  
 Applied power: 2.0 W  
 Transmission coefficient: 60%

N. Gupta, V. Voloshinov, APPLIED OPTICS, Vol. 43, No. 13, pp. 2752-2759, 2004

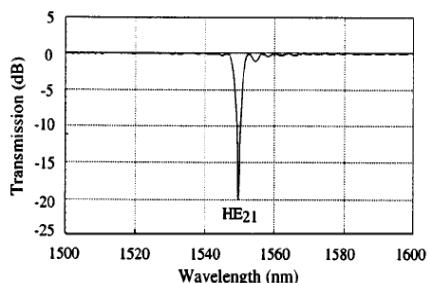
## Akustooptický zářezový („notch“) filtr v optickém vlákně

(Photonics Technol. Lett., Sept. 2000)

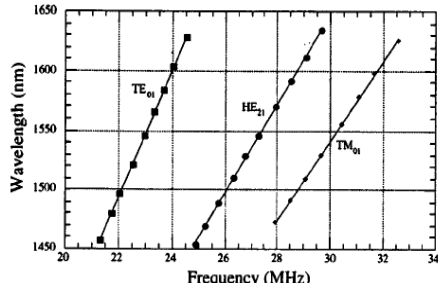


Příčná akustická vlna vytváří periodické mikroohyby, které způsobují vazbu do plášťových vidů vlákna

Přenosová spektrální charakteristika



Ladicí křivka

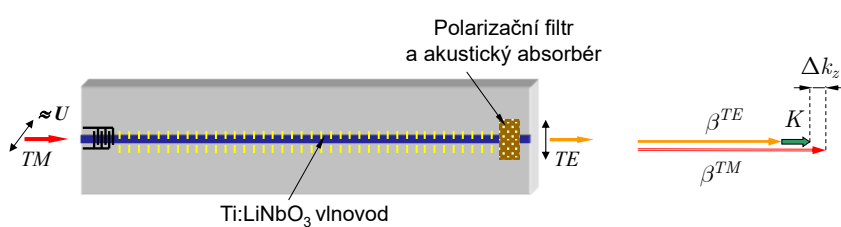


ÚFE

61

## Integrovaně-optické akustooptické prvky

### Kolineární interakce



Účinnost akustooptické interakce

$$\eta = \frac{\kappa^2}{\kappa^2 + (\Delta k_z / 2)^2} \sin^2(\sqrt{\kappa^2 + (\Delta k_z / 2)^2} L),$$

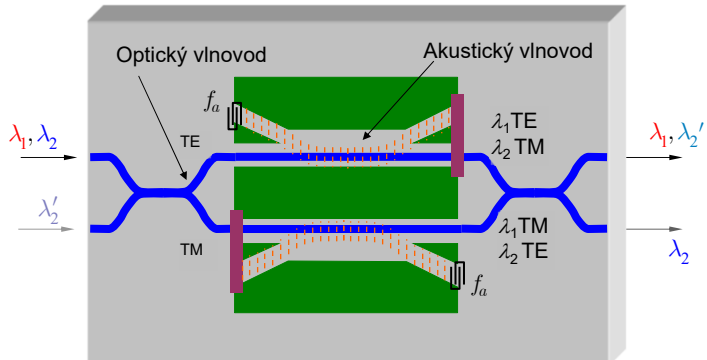
$$\kappa \sim \frac{1}{2k} \int_{-\infty}^{\infty} \int_{-\infty}^{\infty} \vec{e}^{TM}(x, y) \cdot \Delta \epsilon(x, y) \cdot \vec{e}^{TE}(x, y) dx dy = \frac{\pi}{2L_c}$$

ÚFE

62

## Polarizačně nezávislý akustoopticky laditelný začleňovací/vydělovací demultiplexor v $\text{LiNbO}_3$

Princip: kolineární AO TE-TM konverze



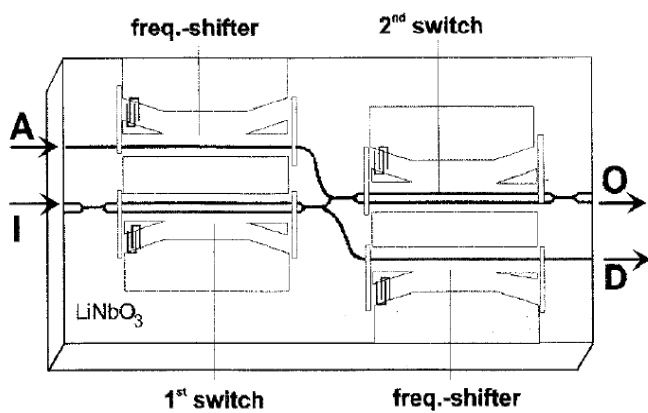
Střední vlnová délka  $\lambda_c = 1,55 \mu\text{m}$ ,  
vzdálenost kanálů  $< 1 \text{ nm}$ , přeladitelnost  $\Delta\lambda \approx 70 \text{ nm}$

ÚFE

63

## Zlepšení charakteristik add-drop multiplexoru kaskádním řazením filtrů a kompenzací frekvenčního posuvu

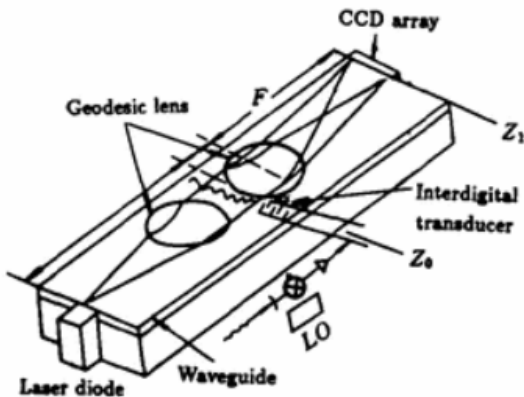
(Uni Paderborn, D, ECOC 1997)



ÚFE

64

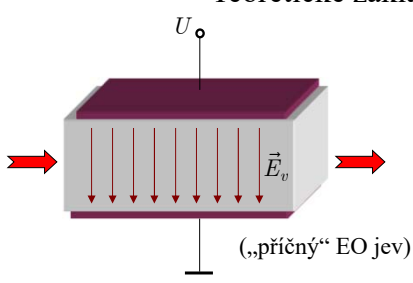
## Integrovaně-optický akustooptický spektrální analyzátor RF signálů



ÚFE

65

## Teoretické základy elektrooptického jevu



$$\vec{D} = \epsilon_0 \bar{\epsilon} \cdot \vec{E}, \quad \vec{E} = \frac{1}{\epsilon_0} \bar{\eta} \cdot \vec{D}, \quad \bar{\eta} = \bar{\epsilon}^{-1}.$$

$$\bar{\eta}(\vec{E}_v) = \bar{\eta}(\vec{0}) + \underbrace{\tilde{r} \cdot \vec{E}_v}_{\text{lineární jev}} + \underbrace{\bar{s} : \vec{E}_v \vec{E}_v}_{\text{kvadratický jev}} \\ (\text{Pockelsův}) \qquad \qquad \qquad (\text{Kerrův})$$

$$\bar{\eta} + \Delta \bar{\eta} = (\bar{\epsilon} + \Delta \bar{\epsilon})^{-1};$$

$$(\bar{\eta} + \Delta \bar{\eta}) \cdot (\bar{\epsilon} + \Delta \bar{\epsilon}) = \bar{I};$$

$$\underbrace{\bar{\eta} \cdot \bar{\epsilon}}_{\bar{I}} + \bar{\eta} \cdot \Delta \bar{\epsilon} + \Delta \bar{\eta} \cdot \bar{\epsilon} + \underbrace{\Delta \bar{\eta} \cdot \Delta \bar{\epsilon}}_{\text{malý člen 2. řádu}} = \bar{I} \quad \boxed{\Delta \bar{\epsilon} = -\bar{\epsilon} \cdot \Delta \bar{\eta} \cdot \bar{\epsilon}}$$

Přiložením elektrického pole na materiál dochází ke změně jeho optické permitivity (impermittivity).

Je-li závislost změny na velikosti pole *lineární*, jde o **lineární (Pockelsův)** elektrooptický jev, je-li kvadratická, jde o **kvadratický (Kerrův)** elektrooptický jev.

Lineární (Pockelsův) jev nastává pouze v materiálech, jejichž fyzikální vlastnosti nejsou invariantní vůči záměně směru souřadnicových os (*necentrosymetrický materiál*).

ÚFE

66

### Teoretické základy elektrooptického jevu (2)

Poněvadž  $\bar{\epsilon}$  je symetrický tenzor, musí být tenzor  $\tilde{r}$  invariantní vůči záměně první dvojice indexů,  $r_{jkl} = r_{kjl}$ ,  
a tenzor  $\bar{s}$  invariantní vůči záměně indexů v první a druhé dvojici,  
 $s_{jklm} = s_{jkml} = s_{kjlm} = s_{kjml}$

To umožňuje zavést zkrácenou Voigtovu notaci

$$r_{jkl} \Rightarrow r_{\alpha l}, \quad s_{jklm} = s_{\alpha \beta}, \\ \alpha, \beta = 1, 2, 3 \text{ pro } (11), (22), (33), \\ \alpha, \beta = 4, 5, 6 \text{ pro } (23) \equiv (32), (13) \equiv (31), (12) \equiv (21).$$

Poněvadž  $\Delta\bar{\eta} = \tilde{r} \cdot \vec{E}_v + \bar{s} : \vec{E}_v \vec{E}_v$ , jednotky elektrooptických tenzorů jsou  
 $[\tilde{r}] = \text{m/V}$  (prakticky pm/V),  $[\bar{s}] = \text{m}^2 / \text{V}^2$

### Vlastnosti některých významných elektrooptických materiálů (1)

Dielektrické krystaly skupiny ADP  
pěstované z vodního roztoku, hygroskopické  
bodová grupa symetrie  $\bar{4}2m$

$$\text{ADP: } r_{41} = 23.11 \text{ pm/V}, \quad n_o = 1.522 \\ r_{63} = 8.5 \text{ pm/V}, \quad n_e = 1.4773$$

$$\text{KDP: } r_{41} = 8 \text{ pm/V}, \quad n_o = 1.5074 \\ r_{63} = 11 \text{ pm/V}, \quad n_e = 1.4661$$

$$\text{DKDP: } r_{41} = 26 \text{ pm/V}, \quad n_o = 1.502 \\ r_{63} = 24.1 \text{ pm/V}, \quad n_e = 1.462$$

$$\left( r_{j\alpha} \right) = \begin{pmatrix} 0 & 0 & 0 \\ 0 & 0 & 0 \\ 0 & 0 & 0 \\ r_{41} & 0 & 0 \\ 0 & r_{41} & 0 \\ 0 & 0 & r_{63} \end{pmatrix}$$

## Vlastnosti některých významných elektrooptických materiálů (2)

Polovaločové krystaly typu A<sup>III</sup>B<sup>V</sup> (GaAs, InP)  
bodová grupa symetrie  $\bar{4}3m$

GaAs:  $\lambda = 1.15 \mu\text{m}$

$$r_{41} = 1.43 \text{ pm/V}, \quad n = 3.43$$

$$\begin{pmatrix} r_{j\alpha} \end{pmatrix} = \begin{pmatrix} 0 & 0 & 0 \\ 0 & 0 & 0 \\ 0 & 0 & 0 \\ r_{41} & 0 & 0 \\ 0 & r_{41} & 0 \\ 0 & 0 & r_{41} \end{pmatrix}$$

Feroelektrické krystaly typu LiNbO<sub>3</sub> (LiTaO<sub>3</sub>)  
bodová grupa symetrie  $3m$

LiNbO<sub>3</sub>:  $r_{22} = 6.8 \text{ pm/V}, \quad n_o = 2.286$

$$r_{13} = 10 \text{ pm/V}, \quad n_e = 2.202$$

$$r_{33} \doteq 30 \text{ pm/V},$$

$$r_{51} \doteq 32 \text{ pm/V}$$

$$\begin{pmatrix} r_{j\alpha} \end{pmatrix} = \begin{pmatrix} 0 & -r_{22} & r_{13} \\ 0 & r_{22} & r_{13} \\ 0 & 0 & r_{33} \\ 0 & r_{51} & 0 \\ r_{51} & 0 & 0 \\ -r_{22} & 0 & 0 \end{pmatrix}$$

LiTaO<sub>3</sub>:

$$n_o = 2.176$$

$$n_e = 2.180$$

## Šíření rovinné vlny v elektrooptickém materiálu s přiloženým vnějším polem (1)

Změna optické permitivity při přiložení vnějšího pole je  $\Delta\bar{\epsilon} = -\bar{\epsilon} \cdot (\tilde{r} \cdot \vec{E}_v) \cdot \bar{\epsilon}$ ;

Rovnice pro rovinnou vlnu je pak  $[\tilde{l}^2 \bar{I} - \tilde{l}\bar{l} - \bar{\epsilon} + \bar{\epsilon} \cdot (\tilde{r} \cdot \vec{E}_v) \cdot \bar{\epsilon}] \cdot \vec{E}_0 = \vec{0}$ .

**Příklad 1:** Amplitudový modulátor v KDP řezu Z

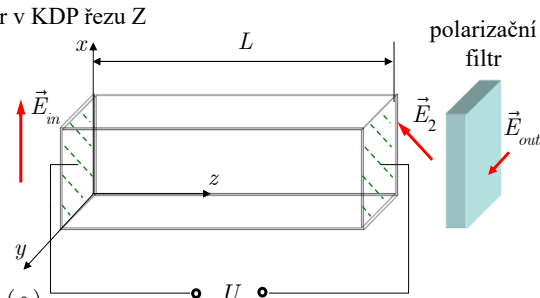
$$\tilde{l} = l_z \vec{z}^0; \vec{E}_v = E_v \vec{z}^0;$$

$$\tilde{r} \cdot \vec{E}_v = r_{63} (\vec{x}^0 \vec{y}^0 + \vec{y}^0 \vec{x}^0) E_v;$$

$$\Delta\epsilon_{12} = \Delta\epsilon_{21} = -n_o^4 r_{63} E_v.$$

Rovnice pro vlastní vlny je

$$\begin{pmatrix} l_z^2 - n_o^2 & n_o^4 r_{63} E_v & 0 \\ n_o^4 r_{63} E_v & l_z^2 - n_o^2 & 0 \\ 0 & 0 & -n_e^2 \end{pmatrix} \cdot \begin{pmatrix} E_x \\ E_y \\ E_z \end{pmatrix} = \begin{pmatrix} 0 \\ 0 \\ 0 \end{pmatrix}.$$



(„podélný“ elektrooptický jev)

## Amplitudový modulátor v KDP řezu Z (2)

Disperzní rovnice je  $(l_z^2 - n_o^2)^2 - (n_o^4 r_{63} E_v)^2 = 0$ , která má řešení

$$l_{z1,2} = \sqrt{n_o^2 \pm n_o^4 r_{63} E_v} \cong n_o \pm \frac{1}{2} n_o^3 r_{63} E_v = n_o \pm \Delta n, \quad \Delta n = \frac{1}{2} n_o^3 r_{63} E_v.$$

Vlastní vlny musejí splňovat rovnici  $\begin{pmatrix} l_z^2 - n_o^2 & n_o^4 r_{63} E_v \\ n_o^4 r_{63} E_v & l_z^2 - n_o^2 \end{pmatrix} \cdot \begin{pmatrix} E_x \\ E_y \end{pmatrix} = \begin{pmatrix} 0 \\ 0 \end{pmatrix}$ , neboli

$$\frac{E_y}{E_x} = -\frac{n_o^4 r_{63} E_v}{l_z^2 - n_o^2} = \mp 1; \text{ vlastní vlny jsou tedy lineárně polarizované pod úhlem } 45^\circ \text{ vůči souřadnicovým osám}$$

Vstupní polarizace  $\vec{E}_{in} = E_0 \vec{x}^0$  se tak rozloží na dvě složky s polarizacemi  $\vec{e}_{1,2}^0 = \frac{1}{\sqrt{2}} (\vec{x}^0 \pm \vec{y}^0)$ ,

$$\vec{E}_{in} = E_0 \vec{x}^0 = \frac{1}{\sqrt{2}} E_0 (\vec{e}_1^0 + \vec{e}_2^0). \quad \text{Šíření na vzdálenost } z \text{ je pak popsáno vztahem}$$

$$\vec{E}(z) = \frac{e^{ik_0 n_0 z}}{\sqrt{2}} E_0 (\vec{e}_1^0 e^{ik_0 \Delta n z} + \vec{e}_2^0 e^{-ik_0 \Delta n z}) = e^{ik_0 n_0 z} E_0 (\vec{x}^0 \cos k_0 \Delta n z + i \vec{y}^0 \sin k_0 \Delta n z).$$

Na výstupu za polarizátorem propouštějícím složku  $\vec{y}^0$  se tak objeví intenzita záření

$$I(L) = |E_y(L)|^2 = E_0^2 \sin^2 k_0 \Delta n L = I(0) \sin^2 k_0 \Delta n L.$$

## Amplitudový modulátor v KDP řezu Z (3)

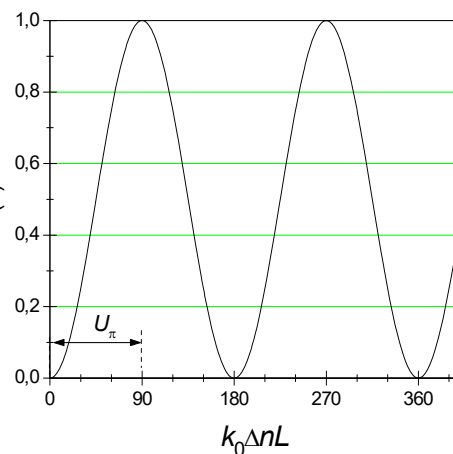
„Půlvlnné“ napětí modulátoru:

$$k_0 \Delta n L = \frac{\pi}{2}, \quad \text{t.j.} \quad \frac{1}{2} k_0 n_o^3 r_{63} E_v L = \frac{\pi}{2},$$

$$U_\pi = E_v L = \frac{\pi}{k_0 n_o^3 r_{63}} = \frac{\lambda}{2 n_o^3 r_{63}}$$

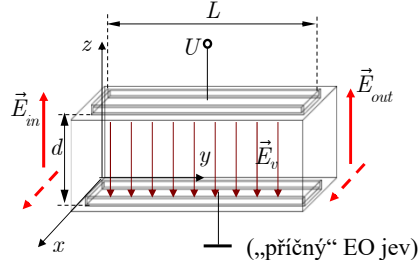
Pro KDP  $U_\pi \doteq 9.3 \text{ kV}$

Při „podélném“ EO jevu nezávisí půlvlnné napětí na délce ani na příčných rozměrech modulátoru



### Příklad 2: Fázový modulátor v LiNbO<sub>3</sub> (1)

$$\vec{l} = l_y \vec{y}^0, \quad \vec{E}_v = E_v \vec{z}^0, \\ \Delta \bar{\epsilon} = -\bar{\epsilon} \cdot (\tilde{r} \cdot \vec{z}^0 E_v) \cdot \bar{\epsilon} = \\ = \begin{pmatrix} -n_o^4 r_{13} E_v & 0 & 0 \\ 0 & -n_o^4 r_{13} E_v & 0 \\ 0 & 0 & -n_e^4 r_{33} E_v \end{pmatrix}.$$



$$\begin{pmatrix} l_y^2 - n_o^2 + n_o^4 r_{13} E_v & 0 & 0 \\ 0 & -n_o^2 + n_o^4 r_{13} E_v & 0 \\ 0 & 0 & l_y^2 - n_e^2 + n_e^4 r_{33} E_v \end{pmatrix} \cdot \begin{pmatrix} E_x \\ E_y \\ E_z \end{pmatrix} = \begin{pmatrix} 0 \\ 0 \\ 0 \end{pmatrix}. \quad E_y \equiv 0$$

V závislosti na vstupní polarizaci ( $E_x$  nebo  $E_z$ ) je

$$\Delta n_o \doteq -\frac{1}{2} n_o^3 r_{13} E_v, \quad \Delta n_e \doteq -\frac{1}{2} n_e^3 r_{33} E_v.$$

### Fázový modulátor v LiNbO<sub>3</sub> (2)

Změna fáze při průchodu úsekem délky  $L$  vlivem přiloženého napětí je pro různé polarizace

$$E_x(L) = E_0 e^{ik_0 n_o L} e^{-i \frac{1}{2} k_0 n_o^3 r_{13} E_v L}, \quad \Delta \varphi_o = -\frac{1}{2} k_0 n_o^3 r_{13} L E_v, \\ E_z(L) = E_0 e^{ik_0 n_e L} e^{-i \frac{1}{2} k_0 n_e^3 r_{33} E_v L}, \quad \Delta \varphi_e = -\frac{1}{2} k_0 n_e^3 r_{33} L E_v.$$

Na rozdíl od „podélného“ EO jevu je nyní  $E_v = U/d$ , kde  $d$  je vzdálenost elektrod.

Půlvlnné napětí je definováno jako napětí potřebné pro dosažení změny fáze o  $\pi$ :

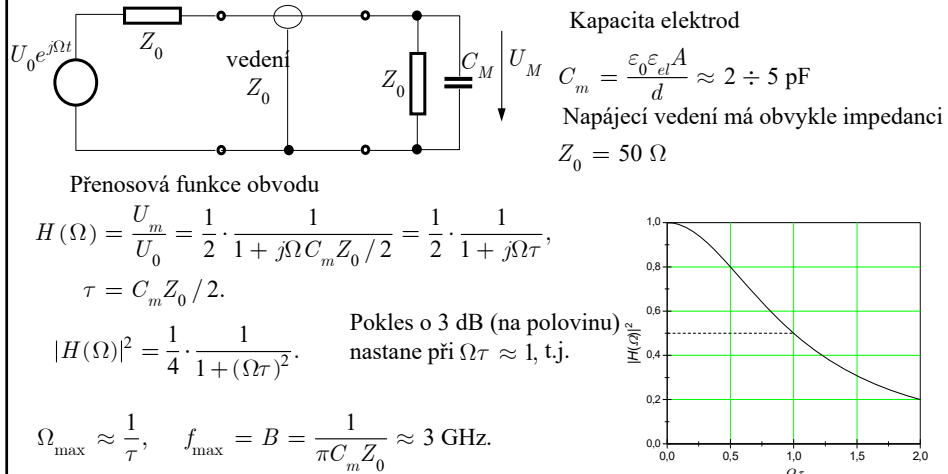
$$U_\pi = E_v d = \frac{\lambda}{n_o^3 r_{13}} \frac{d}{L} \quad \text{pro } E_{in} = E_x, \quad \text{Pro LiNbO}_3 \quad U_\pi \cong 5.3 \frac{d}{L} \text{ [kV] pro } E_x,$$

$$U_\pi = E_v d = \frac{\lambda}{n_e^3 r_{33}} \frac{d}{L} \quad \text{pro } E_{in} = E_z. \quad U_\pi \cong 2.2 \frac{d}{L} \text{ [kV] pro } E_z.$$

## Rychlosť EO modulace (modulačná šírka pásma)

Vlastný EO jev má časové konstanty veľmi krátke, rádu  $10^{-14} \div 10^{-15}$  s.

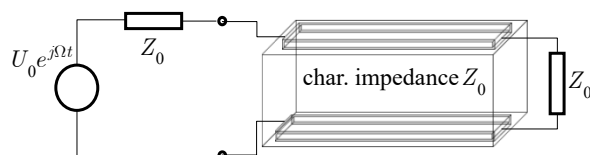
Omezení vzniká vlivom časové konstanty elektrického obvodu ovládajúceho modulátor



ÚFE

75

## Rozšírenie pásma modulace pomocou elektrod s postupnou vlnou



$$\text{Opická vlna: } E_{opt} = E_0 \exp[j(\omega t - k_0 n_{eff} y)],$$

$$\text{Modulačná vlna: } E_{mod} = E_m \exp[j(\Omega t - k_0 n_m y)].$$

$$\text{Lze ukázat, že účinnosť modulacie je } \eta_{mod} \sim \left[ \frac{\sin \frac{\Omega}{2c} (n_m - n_{eff}) L}{\frac{\Omega}{2c} (n_m - n_{eff}) L} \right]^2;$$

Šírka pásma pro pokles účinnosti modulacie o 4 dB je

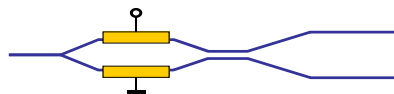
$$B \cdot L \approx \frac{\Omega}{2\pi} L = \frac{c}{2(n_m - n_{eff})} \approx 10 \text{ GHz.cm}$$

ÚFE

76

## Příklady elektrooptických a akustooptických součástek

### Lineární modulátor pro kabelovou TV: MZ modulátor+ směrová odbočnice



#### GENERAL SPECIFICATIONS

|  |  |
|--|--|
| Material                                   | $\text{LiNbO}_3$   |
| Crystal orientation                        | x-cut, y-propagating   |
| Electrical connectors (package)            | SMA connectors   |
| Operating wavelength                       | 1535 - 1550nm  |
| Fiber Options<br>(1 meter fiber pigtailed) | 1. Fujikura SM 15-P-8/125-UV/UV-400<br>2. 3M FS-PM-7621<br>3. Corning SMF 28<br>4. Custom Fiber <sup>2</sup> (Customer supplied) |

#### ABSOLUTE SPECIFICATIONS

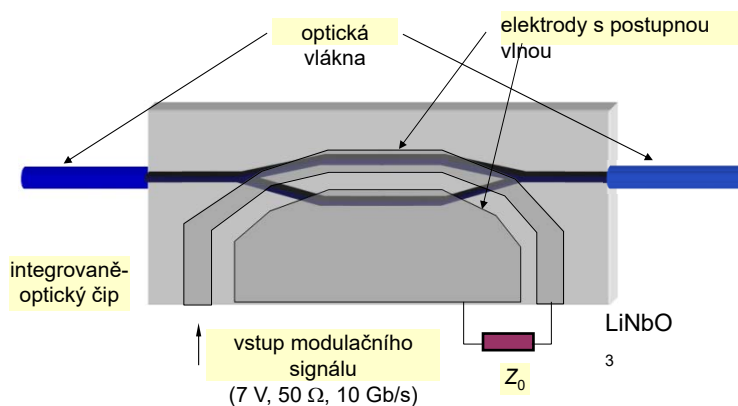
|                       |                             |
|-----------------------|-----------------------------|
| Input optical power   | 200 mW maximum              |
| Operating temperature | -25°C minimum, 75°C maximum |
| Storage temperature   | -45°C minimum, 90°C maximum |
| Bias Port             |                             |
| Applied DC Voltage    | $\pm 15$ V maximum          |
| RF Port               |                             |
| Applied DC Voltage    | 0 V maximum                 |
| Applied RF Power      | +27 dBm maximum             |

ÚFE

77

## Elektroopticky řízený MZ interferometrický modulátor

Externí modulátor pro optické komunikační systémy s přenosovou rychlostí  $\geq 2.5 \text{ Gb/s}$

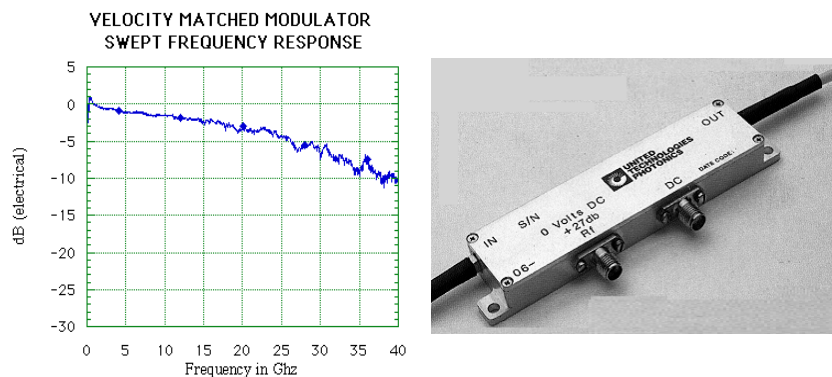


Pravděpodobně nejužívanější elektrooptická součástka

ÚFE

78

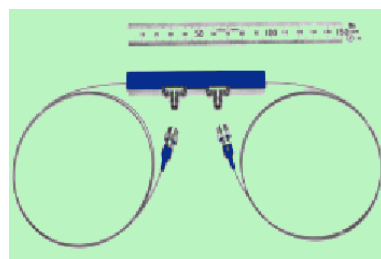
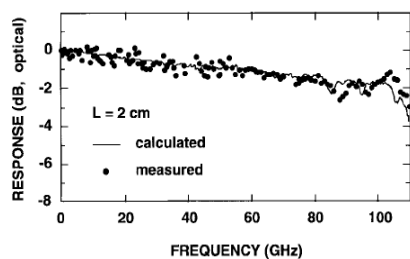
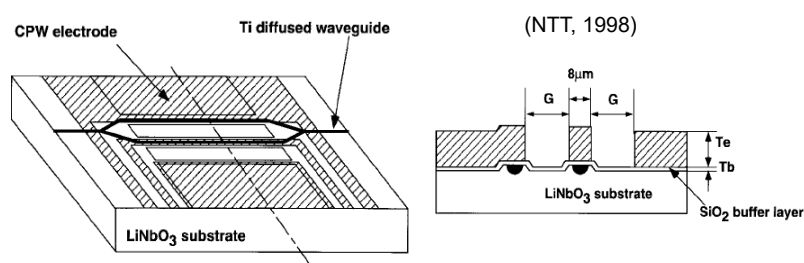
## Vlastnosti MZ elektrooptického modulátoru



ÚFE

79

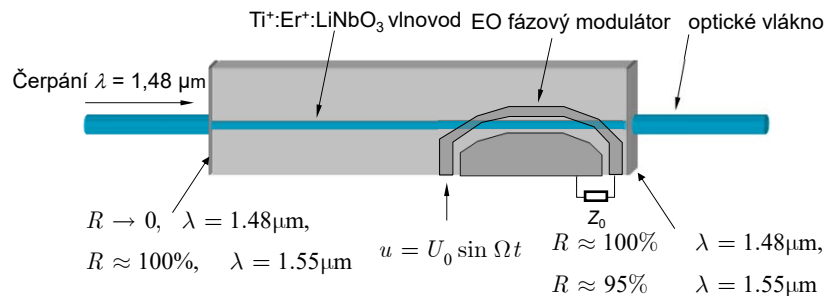
## 100 GHz LiNbO<sub>3</sub> modulátor s ovládacím napětím 5,1 V



ÚFE

80

## Vlnovodný Ti:Er:LiNbO<sub>3</sub> laser s integrovaným elektrooptickým modulátorem pro synchronizaci vidu

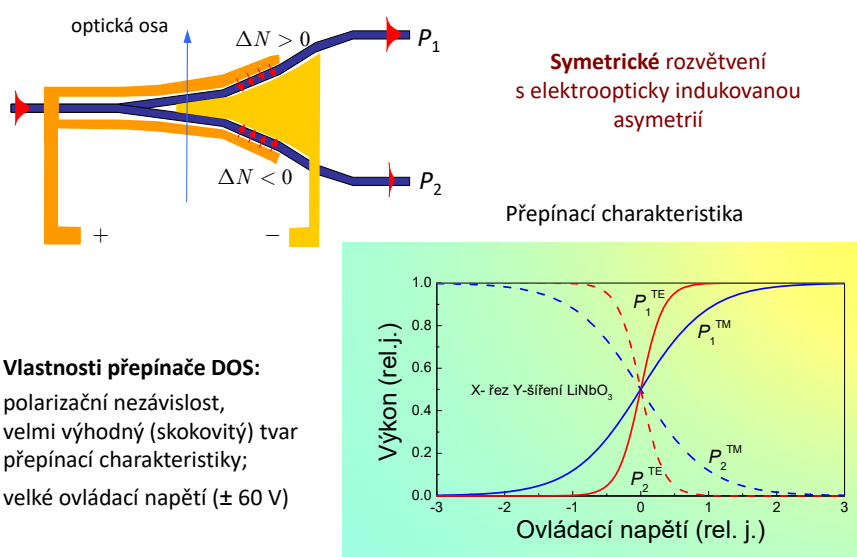


Ultrakrátké pulsy ( $\leq 10 \text{ ps}$ ), opakovací frekvence  $\approx 20 \text{ GHz}$

ÚFE

81

## Polarizačně nezávislý „digitální“ optický přepínač (DOS) v LiNbO<sub>3</sub>

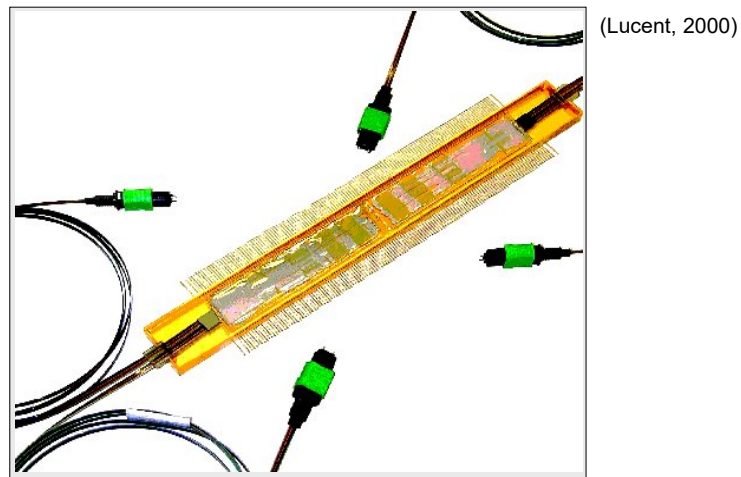


ÚFE

82

### „Prostorový“ přepínač $16 \times 16$ v $\text{Ti:LiNbO}_3$ ( $2 \times 20 \times 5$ mm)

„Neblokující“ architektura, 480 DOS přepínačů.  $U = \pm 45$  V,  $\text{IL} < 15$  dB,  
 $\tau \approx 5$  ns,  $\text{PMD} < 1$  ps, kompenzace PMD křemennou  $\lambda/4$  destičkou

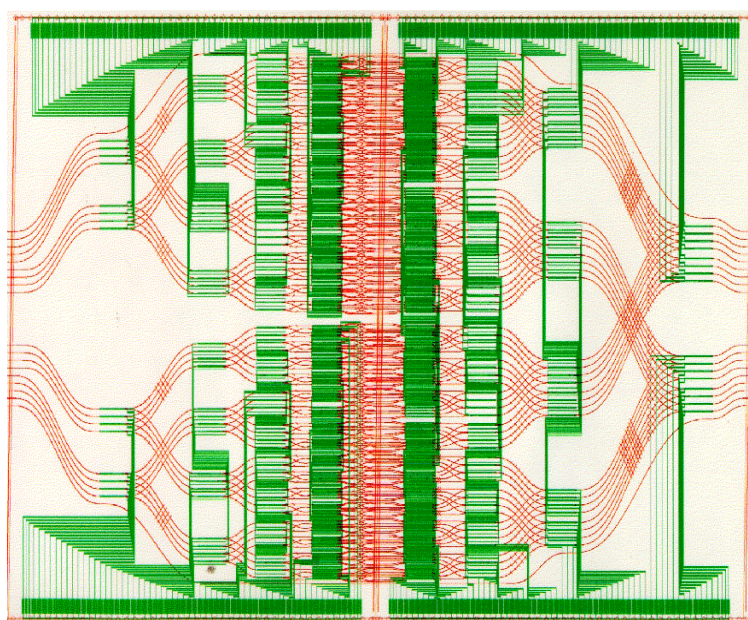


(Lucent, 2000)

ÚFE

83

### Layout optických vlnovodů a elektrodrové struktury přepínače



ÚFE

84

## Přehled komerčních akustooptických a elektrooptických součástek

### Elektrooptické amplitudové modulátory (Newport)

|  | <b>4102NF</b>                  | <b>4104NF</b>                 | <b>4101NF</b>                  | <b>4103</b>                   |
|--|--------------------------------|-------------------------------|--------------------------------|-------------------------------|
| Type <sup>(1)</sup>                      | Broadband AM                   | Broadband AM                  | Resonant AM                    | Resonant AM                   |
| Operating Frequency                      | DC-200 MHz                     | DC-200 MHz                    | 0.01-250 MHz                   | 0.01-250 MHz                  |
| Wavelength Range                         | 500-900 nm                     | 900-1600 nm                   | 500-900 nm                     | 900-1600 nm                   |
| Material                                 | LiNbO <sub>3</sub>             | LiNbO <sub>3</sub>            | LiNbO <sub>3</sub>             | LiNbO <sub>3</sub>            |
| Maximum V <sub>n</sub> <sup>(2)</sup>    | 160 V @ 532 nm                 | 300 V @ 1000 nm               | 16 V @ 532 nm                  | 30 V @ 1000 nm                |
| On:Off Extinction Ratio <sup>(3)</sup>   | 50:1                           | 50:1                          | 50:1                           | 50:1                          |
| Maximum Optical Intensity <sup>(4)</sup> | 0.5 W/mm <sup>2</sup> @ 532 nm | 1 W/mm <sup>2</sup> @ 1300 nm | 0.5 W/mm <sup>2</sup> @ 532 nm | 1 W/mm <sup>2</sup> @ 1300 nm |
| Aperture Diameter                        | 2 mm                           | 2 mm                          | 2 mm                           | 2 mm                          |
| Insertion Loss <sup>(5)</sup>            | <0.3 dB                        | <0.3 dB                       | <0.3 dB                        | <0.3 dB                       |
| RF Bandwidth                             | 200 MHz                        | 200 MHz                       | 2-4% freq.                     | 2-4% freq.                    |
| RF Connector                             | SMA                            | SMA                           | SMA                            | SMA                           |
| Input Impedance                          | 10 pF                          | 10 pF                         | 50 Ω                           | 50 Ω                          |
| Maximum RF Power                         | 10 W                           | 10 W                          | 1 W                            | 1 W                           |
| VSWR                                     | NA                             | NA                            | <1.5                           | <1.5                          |



ÚFE

85

### Elektrooptické fázové modulátory (Newport)

|  | <b>4006</b>                    | <b>4002</b>                  | <b>4004</b>                   | <b>4005</b>                    | <b>4001NF</b>                | <b>4003NF</b>                 |
|--|--------------------------------|------------------------------|-------------------------------|--------------------------------|------------------------------|-------------------------------|
| Type <sup>(1)</sup>                      | Broadband                      | Broadband                    | Broadband                     | Resonant                       | Resonant                     | Resonant                      |
| Operating Frequency                      | DC-100                         | DC-100 MHz                   | DC-100 MHz                    | 0.01-250                       | 0.01-250 MHz                 | 0.01-250 MHz                  |
| Wavelength Range                         | 360-500 nm                     | 500-900 nm                   | 900-1600 nm                   | 360-500 nm                     | 500-900 nm                   | 900-1600 nm                   |
| Material                                 | MgO:LiNbO <sub>3</sub>         | MgO:LiNbO <sub>3</sub>       | MgO:LiNbO <sub>3</sub>        | MgO:LiNbO <sub>3</sub>         | MgO:LiNbO <sub>3</sub>       | MgO:LiNbO <sub>3</sub>        |
| Modulation Depth                         | 40 mrad/V @ 364 nm             | 30 mrad/V @ 532 nm           | 15 mrad/V @ 1000 nm           | 0.27 - 0.8 rad/V @ 364 nm      | 0.2 - 0.6 rad/V @ 532 nm     | 0.1 - 0.3 rad/V @ 1000 nm     |
| Maximum V <sub>n</sub> <sup>(2)</sup>    | 79 V @ 364 nm                  | 105 V @ 532 nm               | 210 V @ 1000 nm               | 3.8 - 11.7 V @ 364 nm          | 5 - 16 V @ 532 nm            | 10 - 31 V @ 1000 nm           |
| Maximum Optical Intensity <sup>(4)</sup> | 0.1 W/mm <sup>2</sup> @ 364 nm | 2 W/mm <sup>2</sup> @ 532 nm | 4 W/mm <sup>2</sup> @ 1064 nm | 0.1 W/mm <sup>2</sup> @ 364 nm | 2 W/mm <sup>2</sup> @ 532 nm | 4 W/mm <sup>2</sup> @ 1064 nm |
| Aperture Diameter                        | 2 mm                           | 2 mm                         | 2 mm                          | 2 mm                           | 2 mm                         | 2 mm                          |
| RF Bandwidth                             | 100 MHz                        | 100 MHz                      | 100 MHz                       | 2-4% freq.                     | 2-4% freq.                   | 2-4% freq.                    |
| RF Connector                             | SMA                            | SMA                          | SMA                           | SMA                            | SMA                          | SMA                           |
| Input Impedance                          | 20 pF                          | 20 pF                        | 20 pF                         | 50 Ω                           | 50 Ω                         | 50 Ω                          |
| Maximum RF Power                         | 10                             | 10 W                         | 10 W                          | 1                              | 1 W                          | 1 W                           |
| VSWR                                     | NA                             | NA                           | NA                            | NA                             | <1.5                         | <1.5                          |



ÚFE

86

## Elektrooptické modulátory



**LASERMETRICS®**  
DIVISION OF FASTPULSE TECHNOLOGY, INC.

**LEADER IN**  
**ELECTRO-OPTIC**  
**INNOVATIONS**



**Q-Switches / Electro-Optic Modulators / Pockels Cells**

**KD\*P Pockels Cells**

- ✓ **1040 SERIES** POCCKELS CELL ELECTRO-OPTIC LIGHT MODULATORS
- ✓ **1058 SERIES** ELECTRO-OPTIC Q-SWITCHES
- ✓ **1059 SERIES** ELECTRO-OPTIC Q-SWITCHES
- ✓ **1070 SERIES** 50 OHM IMPEDANCE ELECTRO-OPTIC MODULATORS
- ✓ **MODELS 1111 / 1112** PICOSECOND POCKELS CELLS
- ✓ **1145 SERIES** POCCKELS CELL ELECTRO-OPTIC Q-SWITCHES
- ✓ **1148 SERIES** 1" DIAMETER DKDP POCCKELS CELL ELECTRO-OPTIC Q-SWITCHES

**RTP Cells**

- ✓ **1147 SERIES** RTP ELECTRO-OPTIC MODULATORS AND Q-SWITCHES

**BBO Cells**

- ✓ **1150 SERIES** BBO POCCKELS CELL Q-SWITCHES

**Transverse Field KD\*P Modulator**

- ✓ **3079 SERIES** LOW VOLTAGE LIGHT MODULATORS

ÚFE

87

Isomet Corporation, Springfield, USA – tradiční výrobce akustooptických součástek  
<http://www.isomet.com>

### AO modulátory pro UV a viditelnou oblast

| Model                         | Operating Wavelength Range | Crystal Material     | Active Aperture (mm) | Typical Risetime (ns) | Modulation Bandwidth (MHz) | Center Freq. (MHz) |
|-------------------------------|----------------------------|----------------------|----------------------|-----------------------|----------------------------|--------------------|
| <a href="#">M1134-FS80L</a>   | UV                         | Fused Silica         | 3                    | 55                    | 10                         | 80                 |
| <a href="#">1211-5-UV</a>     | UV                         | Quartz               | 5                    | 113                   | 5                          | 110                |
| <a href="#">M1088-FS110L</a>  | UV                         | Fused Silica         | 3                    | 55                    | 10                         | 110                |
| <a href="#">1211-UV</a>       | UV                         | Quartz               | 2                    | 57                    | 20                         | 150                |
| <a href="#">1212-2-949</a>    | UV                         | Quartz               | 2                    | 25                    | 20                         | 150                |
| <a href="#">1212</a>          | UV                         | Quartz               | 1                    | 10                    | 30                         | 175                |
| <a href="#">1212-248</a>      | UV                         | Quartz               | 1                    | 10                    | 30                         | 200                |
| ---                           |                            |                      |                      |                       |                            |                    |
| <a href="#">1201E-1</a>       | VIS                        | Glass                | 1.7                  | 46                    | 7                          | 40                 |
| <a href="#">1201E-964</a>     | VIS                        | Glass                | 3                    | 93                    | 10                         | 70                 |
| <a href="#">OAM1060</a>       | VIS                        | TeO <sub>2</sub> (S) | 2                    | 1000                  | 0.2                        | 80                 |
| <a href="#">M1115-FS80L-3</a> | VIS                        | Fused Silica         | 3(H)x14(W)           | 170                   | 10                         | 80                 |
| <a href="#">1205C-x</a>       | VIS                        | PbMo04               | 1 / 2 / 3            | 25                    | 15                         | 80                 |
| <a href="#">M1133-aQ80L</a>   | VIS                        | Quartz               | 1.5 / 2              | 114                   | 10                         | 80                 |
| <a href="#">OAM1020</a>       | VIS                        | TeO <sub>2</sub> (S) | 3                    | 1000                  | 0.2                        | 110                |
| <a href="#">1211</a>          | VIS                        | Quartz               | 2                    | 57                    | 10                         | 110                |
| <a href="#">1211-3-985</a>    | VIS                        | Quartz               | 2.7                  | 57                    | 20                         | 110                |
| <a href="#">1206C</a>         | VIS                        | PbMo04               | 1                    | 15                    | 25                         | 110                |
| <a href="#">1206C-833</a>     | NUV, VIS                   | TeO <sub>2</sub>     | 1                    | 15                    | 25                         | 110                |
| <a href="#">1206C-2-1002</a>  | NUV, VIS                   | TeO <sub>2</sub>     | 2                    | 30                    | 25                         | 110                |
| <a href="#">1250C-B29A</a>    | NUV, VIS                   | TeO <sub>2</sub>     | 0.45                 | 9                     | 50                         | 260                |
| <a href="#">1250C</a>         | VIS                        | PbMo04               | 0.75                 | 10                    | 50                         | 200                |
| <a href="#">1250C-848</a>     | VIS                        | TeO <sub>2</sub>     | 0.5                  | 7                     | 50                         | 200                |
| <a href="#">1250C-974</a>     | VIS                        | TeO <sub>2</sub>     | 0.4                  | 7                     | 50                         | 200                |
| <a href="#">M11067-T200L</a>  | VIS                        | TeO <sub>2</sub>     | 0.2                  | 7                     | 50                         | 200                |
| <a href="#">1260-1044</a>     | VIS                        | TeO <sub>2</sub>     | 0.2                  | 6                     | 100                        | 350                |

ÚFE

88

### AO modulátory pro infračervenou oblast

| Model                        | Operating Wavelength Range | Crystal Material | Active Aperture (mm) | Typical Risetime (ns) | Modulation Bandwidth (MHz) | Center Freq. (MHz) |
|------------------------------|----------------------------|------------------|----------------------|-----------------------|----------------------------|--------------------|
| <a href="#">1201E-2</a>      | NIR                        | Glass            | 1.7                  | 93                    | 3.8                        | 40                 |
| <a href="#">1202-4</a>       | NIR                        | Glass            | 4(H)x14(W)           | 350                   | 10                         | 40                 |
| <a href="#">M1137-SF40L</a>  | NIR                        | Glass            | 1.5                  | 191                   | 10                         | 40                 |
| <a href="#">1205C-x-NIR</a>  | NIR                        | PbMo04           | 1 / 2                | 25                    | 15                         | 80                 |
| <a href="#">1205C-1023</a>   | NIR                        | PbMo04           | 0.6                  | 25                    | 15                         | 80                 |
| <a href="#">1205C-843</a>    | NIR                        | PbMo04           | 0.5                  | 25                    | 15                         | 80                 |
| <a href="#">M1142-SF80L</a>  | NIR                        | Glass            | 0.5                  | 40                    | 15                         | 80                 |
| <a href="#">M1080-T80L</a>   | NIR                        | TeO2             | 1.5                  | 77                    | 15                         | 80                 |
| <a href="#">M1135-T80L</a>   | NIR                        | TeO2             | 3                    | 245                   | 15                         | 80                 |
| <a href="#">1206C-NIR</a>    | NIR                        | PbMo04           | 1                    | 15                    | 25                         | 110                |
| <a href="#">1250C-868</a>    | NIR                        | TeO2             | 0.5                  | 7                     | 25                         | 150                |
| <a href="#">1250C-NIR</a>    | NIR                        | PbMo04           | 0.75                 | 10                    | 50                         | 200                |
| ---                          |                            |                  |                      |                       |                            |                    |
| <a href="#">1207B-3</a>      | IR                         | Ge               | 3                    | 70                    | 8                          | 40                 |
| <a href="#">1210</a>         | mid-IR                     | Ge               | 4                    | 500                   | 10                         | 81 / 105           |
| <a href="#">1208-6-4(M)</a>  | mid-IR                     | Ge               | 6(H)x14(W)           | 500                   | 10                         | 50                 |
| <a href="#">1207B-6</a>      | IR                         | Ge               | 6                    | 700                   | 10                         | 40                 |
| <a href="#">1208-6-955M</a>  | IR                         | Ge               | 6(H)x14(W)           | 700                   | 10                         | 40                 |
| <a href="#">1209-7-993M</a>  | IR                         | Ge               | 7(H)x14(W)           | 830                   | 10                         | 40                 |
| <a href="#">1209-7-1064M</a> | IR                         | Ge               | 7(H)x14(W)           | 830                   | 10                         | 40                 |
| <a href="#">1209-7-1112M</a> | IR                         | Ge               | 7(H)x14(W)           | 830                   | 10                         | 40                 |
| <a href="#">1209-9-1010M</a> | IR                         | Ge               | 9(H)x20(W)           | 830                   | 2.5                        | 40                 |
| <a href="#">AOM6x0-H</a>     | IR                         | Ge               | 7(H)x30(W)           | 830                   | 10                         | 40 / 50            |

### Mnohokanálové AO modulátory

| Model                  | Channels     | Spectral Range (µm) | Material | Active Aperture (mm) | Typical Risetime (ns) | Information Bandwidth (MHz) | Center Freq. (MHz) |
|------------------------|--------------|---------------------|----------|----------------------|-----------------------|-----------------------------|--------------------|
| M1140                  | 4            | 0.45-0.67           | PbMo04   | 0.7                  | 25                    | 15                          | 110                |
| 8080                   | 8            | 0.45-0.67           | PbMo04   | 0.7                  | 36                    | 9                           | 80                 |
| <a href="#">M8080C</a> | 8            | 0.488-0.633         | PbMo04   | 0.5                  | 55                    | 6                           | 80                 |
| <a href="#">M9080C</a> | 8, collinear | 0.45-0.67           | PbMo04   | 0.7                  | 36                    | 9                           | 90                 |
| G7060                  | 6            | 2.5-11.0            | Ge       | 0.8                  | 70                    | 5                           | 70                 |

ÚFE

89

### AO deflektory

| Model                         | Operating Wavelengths | Material | Resolution | Time Aperture (µs) | Sweep Bandwidth (MHz) | Center Freq. (MHz) |
|-------------------------------|-----------------------|----------|------------|--------------------|-----------------------|--------------------|
| <a href="#">1211-BS-1045</a>  | UV                    | Quartz   | 35         | 0.87               | 40                    | 110                |
| <a href="#">D1155-T75S</a>    | 405nm                 | TeO2 (S) | 140        | 14.5               | 10                    | 75                 |
| ---                           |                       |          |            |                    |                       |                    |
| <a href="#">1205C-2</a>       | VIS                   | PbMo04   | 16         | 0.55               | 30                    | 80                 |
| <a href="#">LS55-V</a>        | VIS                   | TeO2 (S) | 450        | 11.3               | 40                    | 80                 |
| <a href="#">LS110-VIS</a>     | VIS                   | TeO2 (S) | 1100       | 22.7               | 50                    | 100                |
| <a href="#">LS110A-VIS-XY</a> | VIS                   | TeO2 (S) | 750x750    | 15                 | 50                    | 100                |
| <a href="#">OAD948</a>        | 488nm                 | TeO2 (S) | 600        | 12.3               | 50                    | 100                |
| <a href="#">OAD1020</a>       | 532nm                 | TeO2 (S) | 600        | 12.3               | 50                    | 100                |
| <a href="#">1206C-1002</a>    | NUV, VIS              | TeO2     | 35         | 0.7                | 50                    | 110                |
| <a href="#">OPP834</a>        | VIS                   | PbMo04   | 520        | 5.2                | 100                   | 200                |
| <a href="#">1250C-BS-960A</a> | VIS                   | PbMo04   | 192        | 1.6                | 120                   | 190                |
| ---                           |                       |          |            |                    |                       |                    |
| <a href="#">OAD1550-XY</a>    | 1550nm                | TeO2 (S) | 200x200    | 10                 | 20                    | 40                 |
| <a href="#">LS110-NIR</a>     | NIR                   | TeO2 (S) | 1100       | 22.7               | 25                    | 50                 |
| <a href="#">LS110A-NIR-XY</a> | NIR                   | TeO2 (S) | 375x375    | 15                 | 25                    | 50                 |
| <a href="#">1205C-x-804B</a>  | NIR                   | PbMo04   | 66         | 1.6                | 40                    | 80                 |
| <a href="#">OAD1121-XY</a>    | 810nm                 | TeO2 (S) | 500x500    | 13                 | 40                    | 80                 |
| <a href="#">LS55-NIR</a>      | NIR                   | TeO2 (S) | 450        | 11.3               | 40                    | 80                 |
| <a href="#">D1135-T110L</a>   | NIR                   | TeO2     | 35         | 0.7                | 50                    | 110                |
| <a href="#">1250-BS-926</a>   | NIR                   | PbMo04   | 70         | 1                  | 70                    | 145                |
| <a href="#">1250C-BS-943A</a> | NIR                   | PbMo04   | 190        | 1.6                | 120                   | 185                |
| ---                           |                       |          |            |                    |                       |                    |
| <a href="#">1208-6BS-955M</a> | IR                    | Ge       | 50         | 2.5                | 20                    | 40                 |
| <a href="#">1209-7BS-966</a>  | IR                    | Ge       | 50         | 2.5                | 20                    | 40                 |
| <a href="#">AOM6x0-H</a>      | IR                    | Ge       | 100        | 5.5                | 20                    | 40 / 50            |
| <a href="#">LS550XY</a>       | IR                    | Ge       | 50x50      | 1.27               | 40                    | 70                 |
| <a href="#">LS600-1011</a>    | IR                    | Ge       | 436        | 10.9               | 40                    | 70                 |
| <a href="#">LS600-4</a>       | IR                    | Ge       | 545        | 13.6               | 40                    | 70                 |

ÚFE

90

## AO posouvače frekvence

| Model                         | Operating Wavelengths | Material | Active Aperture (mm) | Center Frequency (MHz) | Frequency Range (MHz) |
|-------------------------------|-----------------------|----------|----------------------|------------------------|-----------------------|
| <a href="#">QAM1059-V31</a>   | 633nm                 | TeO2 (S) | 1.5                  | 10                     | +/- 0.5               |
| <a href="#">QAM1059A</a>      | 633nm                 | TeO2 (S) | 1.5                  | 15                     | +/- 1.0               |
| <a href="#">1201E-1</a>       | VIS                   | Glass    | 1.7                  | 40                     | +/- 7.0               |
| <a href="#">1201E-2</a>       | NIR                   | Glass    | 1.7                  | 40                     | +/- 7.0               |
| <a href="#">QAM1141-T40-2</a> | 633nm                 | TeO2 (S) | 2                    | 40                     | +/- 1.0               |
| ---                           |                       |          |                      |                        |                       |
| <a href="#">QAM1141-T80-2</a> | 633nm                 | TeO2 (S) | 2                    | 80                     | +/- 1.0               |
| <a href="#">1205-1054</a>     | VIS                   | PbMo04   | 1                    | 80                     | +/- 5                 |
| <a href="#">1205-1069</a>     | VIS                   | PbMo04   | 1                    | 160                    | +/- 5                 |
| <a href="#">M1141-P80-1</a>   | VIS                   | PbMo04   | 1                    | 80                     | +/- 5                 |
| <a href="#">1205-1118</a>     | VIS                   | PbMo04   | 2                    | 80                     | +/- 5                 |
| <a href="#">1205C-1-869</a>   | VIS,NIR               | PbMo04   | 1 / 2                | 80                     | +/- 20                |
| ---                           |                       |          |                      |                        |                       |
| <a href="#">1206C</a>         | VIS,NIR               | PbMo04   | 1                    | 110                    | +/- 25                |
| <a href="#">1250C</a>         | VIS,NIR               | PbMo04   | 0.75                 | 200                    | +/- 50                |
| <a href="#">1250C-829A</a>    | NUV,VIS               | TeO2     | 0.45                 | 260                    | +/- 50                |
| <a href="#">OPP-1</a>         | VIS                   | PbMo04   | 1.5                  | 300                    | +/- 100               |
| ---                           |                       |          |                      |                        |                       |
| <a href="#">1210</a>          | mid-IR                | Ge       | 4                    | 81 / 105               | +/- 10                |
| <a href="#">1207B-6</a>       | IR                    | Ge       | 6                    | 40                     | +/- 10                |
| <a href="#">1207B-3-80</a>    | IR                    | Ge       | 3                    | 80                     | +/- 2.5               |

ÚFE

91

## AO Q-spínače

| Model                         | Cooling    | Centre Frequency (MHz) | Material         | Active Aperture (mm) | Max RF Power (W) | Damage Threshold (MW/cm <sup>2</sup> ) |
|-------------------------------|------------|------------------------|------------------|----------------------|------------------|--|
| <a href="#">Q1072-SF24L</a>   | Conduction | 24                     | SF10             | 1.5                  | 5                | >300                                   |
| <a href="#">Q1058C-SFxL-H</a> | Conduction | 24/27                  | SF10             | 1.0/1.5              | 5                | >300                                   |
| <a href="#">Q1025-TxxL-H</a>  | Conduction | 27/80                  | TeO2             | 1.0                  | 3                | >250                                   |
| <a href="#">Q1025-SFxL-H</a>  | Conduction | 41/80                  | SF10             | 1.0                  | 3                | >300                                   |
| <a href="#">Q1080C-TxxL-H</a> | Conduction | 41/ 68 / 80            | TeO2             | 1.5                  | 4                | >250                                   |
| <a href="#">Q1087-aQ80L</a>   | Conduction | 80                     | Quartz           | 1.0                  | 6                | >500                                   |
| <a href="#">Q1137-SFxL-H</a>  | Conduction | 41/80                  | SF57             | 1.0 / 1.5            | 6                | >300                                   |
| <a href="#">Q1162-SFxL-H</a>  | Conduction | 41/80                  | SF10             | 1.0                  | 6                | >300                                   |
| -                             |            |                        |                  |                      |                  |  |
| <a href="#">Q1119-aQxxL-H</a> | Conduction | 41/ 80                 | Quartz           | 1.0 / 1.5            | 10               | >500                                   |
| <a href="#">Q1119-FSxxL-H</a> | Conduction | 41/ 80                 | Fused Silica     | 1.0 / 1.5            | 10               | >500                                   |
| <a href="#">Q1133-aQxxL-H</a> | Conduction | 41/ 68 / 80            | Quartz           | 1.0 to 2.0           | 10               | >500                                   |
| <a href="#">Q1133-FSxxL-H</a> | Conduction | 41/ 68 / 80            | Fused Silica     | 1.0 / 1.5            | 10               | >500                                   |
| -                             |            |                        |                  |                      |                  |  |
| <a href="#">Q1062-FSxxL-H</a> | Water      | 24/ 27                 | Fused Silica     | 1.5 to 6.0           | 60               | >500                                   |
| <a href="#">Q1062-FSxxS-H</a> | Water      | 24/ 27                 | F.Silica (Shear) | 1.5 to 5.5           | 60               | >500                                   |
| <a href="#">Q1083-FSxxL-H</a> | Water      | 24/ 27 / 41            | Fused Silica     | 1.5 to 6.0           | 60               | >500                                   |
| <a href="#">Q1083-FSxxS-H</a> | Water      | 24/ 27 / 41            | F.Silica (Shear) | 1.5 to 5.5           | 60               | >500                                   |

ÚFE

92

## AO laditelné filtry

| Model         | Spectral Range ( $\mu\text{m}$ ) | Active Aperture (sq. mm) | Acceptance Angle (Deg.) | Optical Bandwidth (nm) | Drive Frequency (MHz) |
|---------------|----------------------------------|--------------------------|-------------------------|------------------------|-----------------------|
| AOLF-615-1049 | VIS                              | 2.5x2.5                  | 3.5 - 4.5               | 1.0 - 6.0              | 109 - 65              |
| AOLF-615-1082 | VIS                              | 2.5x2.5                  | 3.5 - 4.5               | 1.0 - 6.0              | 109 - 65              |
| AOTF614-08    | VIS,NIR                          | 5x5                      | 3.5 - 6.0               | 1.0 - 22.0             | 140 - 35              |
| AOTF614-16    | VIS,NIR                          | 5x5                      | 2.5 - 4.2               | 0.6 - 11.0             | 140 - 35              |
| AOTF614-24    | VIS,NIR                          | 5x5                      | 3.5 - 6.0               | 0.4 - 7.0              | 140 - 35              |
| AOTF920-14    | NIR                              | 5x5                      | 3.4 - 6.1               | 2.0 - 27.0             | 95 - 26               |
| AOTF920-20    | NIR                              | 5x5                      | 2.6 - 4.9               | 1.5 - 18.5             | 95 - 26               |
| AOTF920-24    | NIR                              | 5x5                      | 2.8 - 5.0               | 1.0 - 15.5             | 95 - 26               |
| AOTF1331      | mid-IR                           | 7x7                      | 5                       | 30 - 50                | 24 - 39               |
| AOTF1550-SLS  | 1550nm                           | 3x3                      | -                       | 2                      | 81 - 84               |
| AOTF1110-VB   | VIS,NIR                          | 10x10                    | 5.7 (nominal)           | Variable               | 80 - 50               |
| QSIF          | VIS-NIR                          | 5x5                      | 4 (nominal)             | 1.0 - 12               | 110 - 45              |

ÚFE

93

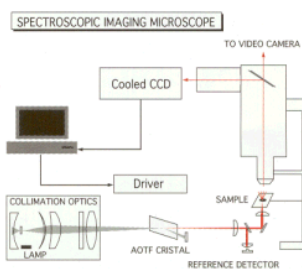


ELECTRO-OPTICAL PRODUCTS CORPORATION

62-40 Forest Avenue, 2nd Floor • Ridgewood, NY 11385, USA • Tel: 718-455-5050 • Fax: 718-455-8050 • www.eopc.com

## AO laditelné filtry

| AOTF MODEL | OPTICAL RANGE (nm) | LIGHT SOURCE<br>[1/N]:Laser<br>/lines<br>[2]:Lamp | OPTICAL TRANS. (%) | APERTURE (mm <sup>2</sup> ) | FIELD OF VIEW | AO EFF. (%) linear pol. | SPECTRAL RES. (nm) -3dB | MAX RF POWER |
|------------|--------------------|---|--------------------|-----------------------------|---------------|-------------------------|-------------------------|--------------|
| AOTFnC-UV  | 350-430            | [1]   | 70-90              | 2x2                         | 1°            | 85                      | 1-2                     | 2            |
| AOTF-1     | 360-530            | [2]   | 70-90              | 2x2                         | 1.5°          | 85                      | 1.5-5                   | 0.2xN        |
| AOTF-2     | 360-530            | [1/4] or [2]                                      | 80-90              | 2x2                         | 1.5°          | 85                      | 1.5-5                   | 0.2xN        |
| AOTF-3     | 400-700            | [2]   | >90                | 5x5                         | 5°            | 80                      | 5-30                    | 2            |
| AOTF-5     | 480-620            | [2]   | >95                | 5x5                         | 8°            | 80                      | 3-10                    | 2            |
| AOTF-6     | 500-850            | [1/1] or [2]                                      | >95                | 5x5                         | 3°            | 80-60                   | 1-3                     | 1            |
| AOTF-7     | 600-900            | [1/1] or [2]                                      | >95                | 5x5                         | 4°            | 70                      | <4                      | 1.5          |
| AOTF-7A    | 600-900            | [1/1] or [2]                                      | >95                | 10x10                       | 4°            | 70                      | 7-10                    | 2            |
| AOTF-8     | 800-1800           | [1/1] or [2]                                      | >95                | 5x5                         | 4°            | 60                      | 2-15                    | 2            |

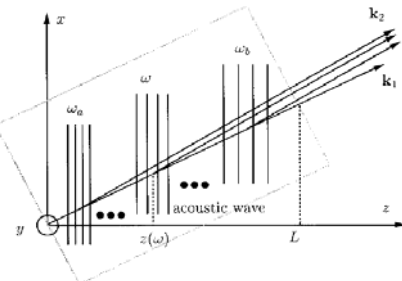
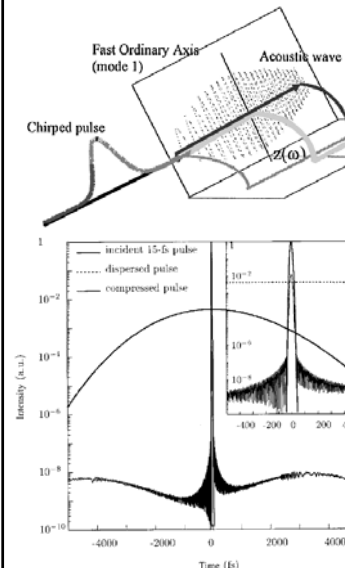


ÚFE

94

## Akustooptické řízení disperze ultrakrátých optických signálů

Kvazikolineární interakce v  $\text{TeO}_2$



$$E_{dif}(\omega) \sim E_{inc}(\omega) \cdot S(\omega \Delta n v_a / c)$$

$$H_d(t) \sim H_i(t) * V \left( ct / (\Delta n v_a) \right)$$

obecný lineární filtr;  
vhodnou volbou časového průběhu ovládacího napětí piezoelektrického měniče je možné v širokých mezích ovládat časový průběh difrakovaného záření

F. Verlucose, V. Laude, J.-P. Huignard, P. Tournais, A. Migus,  
J. Opt. Soc. Am. B, Vol. **17**, 138-145, 2000

F. Verlucose, V. Laude, Z. Cheng, Ch. Spielmann, P. Tournais,  
Optics Letters Vol. **25**, 575-577, 2000

ÚFE

95

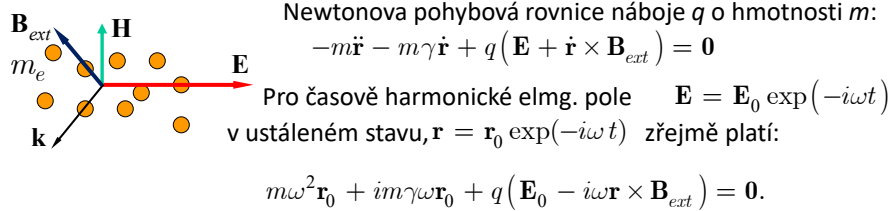
## Základy magnetooptiky

ÚFE

96

## Drudeho model magnetooptického prostředí

„Volný“ elektronový plyn v elektromagnetickém poli za přítomnosti konstantního vnějšího magnetického pole



Zvolme směr konstantního magnetického pole za souř. osu  $z$  a rozepíšme rovnici:

$$\mathbf{B}_{ext} = B_{ext} \mathbf{z}^0 : \begin{pmatrix} m(\omega^2 + i\gamma\omega) & i\omega q B_{ext} & 0 \\ -i\omega q B_{ext} & m(\omega^2 + i\gamma\omega) & 0 \\ 0 & 0 & m(\omega^2 + i\gamma\omega) \end{pmatrix} \cdot \begin{pmatrix} x_0 \\ y_0 \\ z_0 \end{pmatrix} = -q \begin{pmatrix} E_x \\ E_y \\ E_z \end{pmatrix}.$$

## Susceptibilita prostředí v magnetickém poli

Drobná úprava dá

$$\begin{pmatrix} \omega^2 + i\gamma\omega & i\omega\omega_c & 0 \\ -i\omega\omega_c & \omega^2 + i\gamma\omega & 0 \\ 0 & 0 & \omega^2 + i\gamma\omega \end{pmatrix} \cdot \mathbf{r}_0 = \mathbf{M} \cdot \mathbf{r}_0 = -\frac{q}{m} \mathbf{E}_0,$$

$$\omega_c = \frac{qB_{ext}}{m} \text{ je cyklotronová frekvence.}$$

Zřejmě

$$\mathbf{r}_0 = -\frac{q}{m} \mathbf{M}^{-1} \cdot \mathbf{E}_0,$$

$$\mathbf{P}_0 = qn\mathbf{r}_0 = -\frac{q^2 n}{m} \mathbf{M}^{-1} \cdot \mathbf{E}_0 = \epsilon_0 \bar{\chi} \cdot \mathbf{E}_0,$$

$$\bar{\chi} = -\frac{q^2 n}{m \epsilon_0} \mathbf{M}^{-1} = -\omega_p^2 \mathbf{M}^{-1}, \quad \omega_p = \left| q \right| \sqrt{\frac{n}{m \epsilon_0}} \text{ ... plazmová frekvence.}$$

Explicitní výpočet inverzní matice a zobecnění na materiály s permitivitou

$$\lim_{\omega \rightarrow \infty} \epsilon(\omega) = \epsilon_\infty \text{ dává } \epsilon = \epsilon_\infty (\mathbf{I} + \bar{\chi}),$$

## Permitivita prostředí v magnetickém poli

$$\boldsymbol{\varepsilon} = \begin{pmatrix} \varepsilon_{xx} & i\varepsilon_{xy} & 0 \\ -i\varepsilon_{xy} & \varepsilon_{xx} & 0 \\ 0 & 0 & \varepsilon_{zz} \end{pmatrix}, \quad \varepsilon_{xx} = \varepsilon_\infty \left[ 1 - \frac{\omega_p^2(\omega + i\gamma)}{\omega[(\omega + i\gamma)^2 - \omega_c^2]} \right],$$

$$\varepsilon_{xy} = \varepsilon_\infty \frac{\omega_p^2 \omega_c}{\omega[(\omega + i\gamma)^2 - \omega_c^2]}, \quad \varepsilon_{zz} = \varepsilon_\infty \left[ 1 - \frac{\omega_p^2}{\omega(\omega + i\gamma)} \right].$$

Pokud srážková frekvence  $\gamma \ll \omega$  a  $\omega_c < \omega$ ,  $\varepsilon_{xx} \approx \varepsilon_{zz}$ ,

prostředí je *bezeztrátové s hermitovskou permitivitou*,

$$\varepsilon_{xy} \simeq \frac{\varepsilon_\infty q^3 n}{\varepsilon_0 m^2 \omega^3} B_0 \quad \text{lineárně závisí na vnějším magnetickém poli.}$$

Pro jednoduchost se budeme dále zabývat jen takovým prostředím.

ÚFE

## Šíření rovinné vlny v izotropním magnetooptickém prostředí

„Rigorózní“ analýza s pomocí Fresnelova disperzního vztahu pro *obecné anizotropní prostředí*

$$\begin{pmatrix} \varepsilon_{xx} - l_y^2 - l_z^2 & i\varepsilon_{xy} + l_x l_y & l_x l_z \\ -i\varepsilon_{xy} + l_x l_y & \varepsilon_{xx} - l_x^2 - l_z^2 & l_y l_z \\ l_x l_z & l_y l_z & \varepsilon_{zz} - l_x^2 - l_y^2 \end{pmatrix} \cdot \begin{pmatrix} E_{0x} \\ E_{0y} \\ E_{0z} \end{pmatrix} = \begin{pmatrix} 0 \\ 0 \\ 0 \end{pmatrix}.$$

Úloha je rotačně symetrická vzhledem ke směru magnetického pole  $z$ , stačí analýza v rovině  $xz$ , tedy pro  $l_y = 0$ .

$$\begin{pmatrix} \varepsilon_{xx} - l_z^2 & i\varepsilon_{xy} & l_x l_z \\ -i\varepsilon_{xy} & \varepsilon_{xx} - l_x^2 - l_z^2 & 0 \\ l_x l_z & 0 & \varepsilon_{zz} - l_x^2 \end{pmatrix} \cdot \begin{pmatrix} E_{0x} \\ E_{0y} \\ E_{0z} \end{pmatrix} = \begin{pmatrix} 0 \\ 0 \\ 0 \end{pmatrix}.$$

Pro reálná prostředí a magnetická pole  $B_{ext} \leq 1 \text{ T}$ ,  $\varepsilon_{xx} \approx \varepsilon_{zz}$  a  $|\varepsilon_{xy}| \ll \varepsilon_{xx}$ .

ÚFE

100

## Plochy vlnových vektorů

Disperzní rovnice je pak

$$[(\varepsilon_{xx} - l_x^2 - l_z^2)(\varepsilon_{xx} - l_z^2) - \varepsilon_{xy}^2](\varepsilon_{zz} - l_x^2) - (\varepsilon_{xx} - l_x^2 - l_z^2)l_x^2 l_z^2 = 0,$$

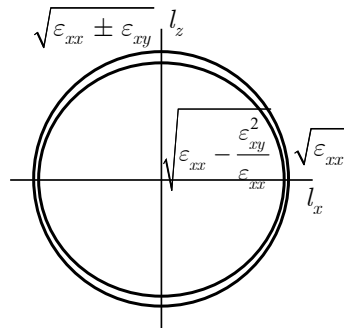
což se pro  $\varepsilon_{xx} \approx \varepsilon_{zz}$  zredukuje na

$$\varepsilon_{xx}(\varepsilon_{xx}^2 - l_x^2 - l_z^2)^2 - \varepsilon_{xy}^2(\varepsilon_{xx} - l_x^2) = 0.$$

To je bikvadratická rovnice pro  $l_z$  s řešením

$$l_z = \pm \sqrt{\varepsilon_{xx} - l_x^2 \pm \varepsilon_{xy} \sqrt{\frac{\varepsilon_{xx} - l_x^2}{\varepsilon_{xx}}}}$$

Plochy vlnových vektorů jsou pak „téměř kružnice“:



ÚFE

101

## „Vlastní vlny“

Šíření podél magnetického pole:  $l_x = 0$ :

$$\begin{pmatrix} \varepsilon_{xx} - \varepsilon_{xx} \mp \varepsilon_{xy} & i\varepsilon_{xy} & 0 \\ -i\varepsilon_{xy} & \varepsilon_{xx} - \varepsilon_{xx} \mp \varepsilon_{xy} & 0 \\ 0 & 0 & \varepsilon_{zz} \end{pmatrix} \cdot \begin{pmatrix} E_{0x} \\ E_{0y} \\ E_{0z} \end{pmatrix} = \begin{pmatrix} 0 \\ 0 \\ 0 \end{pmatrix},$$

tedy  $E_{0z} = 0$ ,  $E_{0x} = \pm iE_{0y}$  ... kruhově polarizované vlny.

Chirální prostředí:

Magnetooptické prostředí:

$$\begin{pmatrix} \varepsilon - l_z^2 & 2i g \cancel{l_z} & 0 \\ -2i g \cancel{l_z} & \varepsilon - l_z^2 & 0 \\ 0 & 0 & \varepsilon \end{pmatrix} \cdot \begin{pmatrix} E_{0x} \\ E_{0y} \\ E_{0z} \end{pmatrix} = \begin{pmatrix} 0 \\ 0 \\ 0 \end{pmatrix}. \quad \begin{pmatrix} \varepsilon_{xx} - l_z^2 & i\varepsilon_{xy} & 0 \\ -i\varepsilon_{xy} & \varepsilon_{xx} - l_z^2 & 0 \\ 0 & 0 & \varepsilon_{zz} \end{pmatrix} \cdot \begin{pmatrix} E_{0x} \\ E_{0y} \\ E_{0z} \end{pmatrix} = \begin{pmatrix} 0 \\ 0 \\ 0 \end{pmatrix}.$$

V obou prostředích dochází ke stáčení roviny polarizace, ale

chirální prostředí je reciproké, zatímco magnetooptické prostředí nikoli.

**Při šíření opačnými směry se polarizace stáčí stejným směrem.**

**Faradayův jev**

ÚFE

102

### „Vlastní vlny“

Šíření kolmo ke směru magnetického pole,  $l_z = 0$ :

$$\begin{pmatrix} \varepsilon_{xx} & i\varepsilon_{xy} & 0 \\ -i\varepsilon_{xy} & \varepsilon_{xx} - l_x^2 & 0 \\ 0 & 0 & \varepsilon_{xx} - l_x^2 \end{pmatrix} \cdot \begin{pmatrix} E_{0x} \\ E_{0y} \\ E_{0z} \end{pmatrix} = \begin{pmatrix} 0 \\ 0 \\ 0 \end{pmatrix}. \quad \text{Voigt (Cotton-Mouton) effect}$$

Vlna polarizovaná ve směru mag. pole se šíří s konstantou šíření  $l_z = \sqrt{\varepsilon_{xx}}$

Vlna polarizovaná kolmo k mag. poli se šíří s konstantou šíření

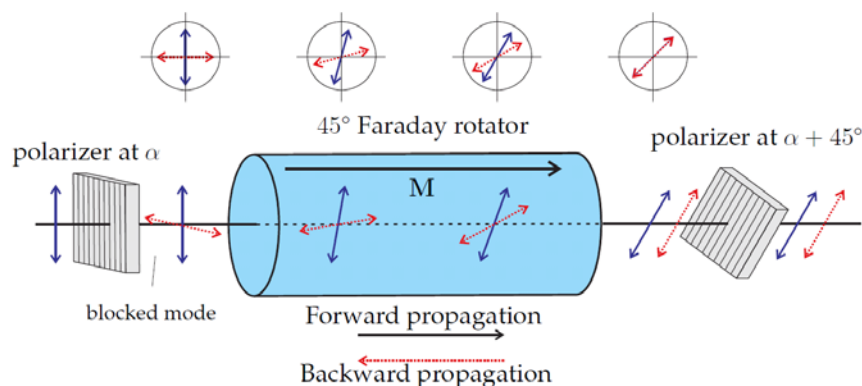
$$l_x = \sqrt{\varepsilon_{xx} - \frac{\varepsilon_{xy}^2}{\varepsilon_{xx}}} = \sqrt{\varepsilon_V}, \quad \varepsilon_V = \varepsilon_{xx} - \frac{\varepsilon_{xy}^2}{\varepsilon_{xx}} \dots \text{Voigt permittivity}$$

a má nenulovou, i když velmi malou **podélnou složku** pole  $E_x$ ,

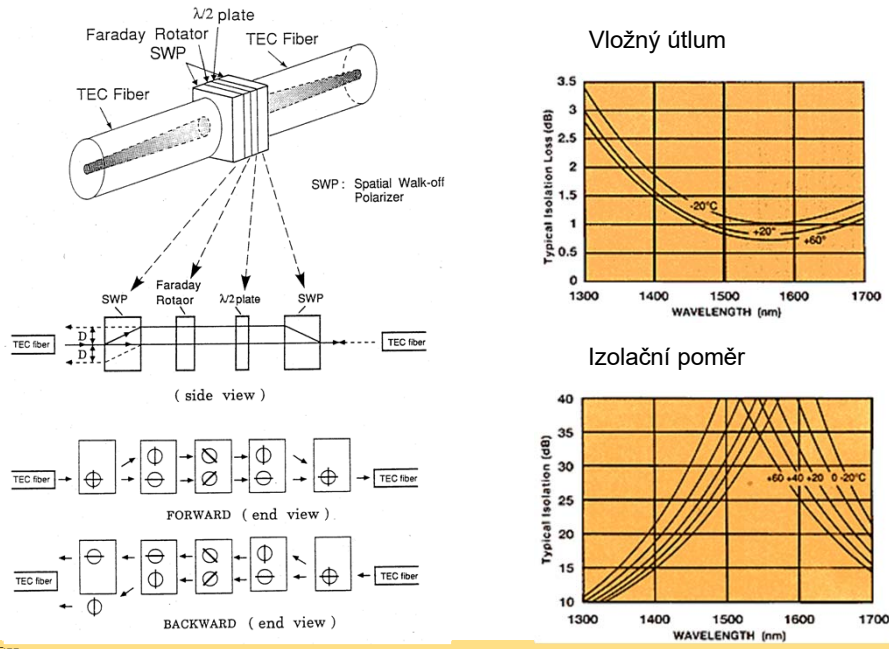
$$\frac{E_x}{E_y} = -i \frac{\varepsilon_{xy}}{\varepsilon_{xx}}, \quad \left| \frac{E_x}{E_y} \right| \ll 1.$$

Konstanta šíření této vlny závisí na **kvadrátu** magnetické indukce, je tedy **stejná** pro oba vzájemně opačné směry šíření.

### Princip optického izolátoru



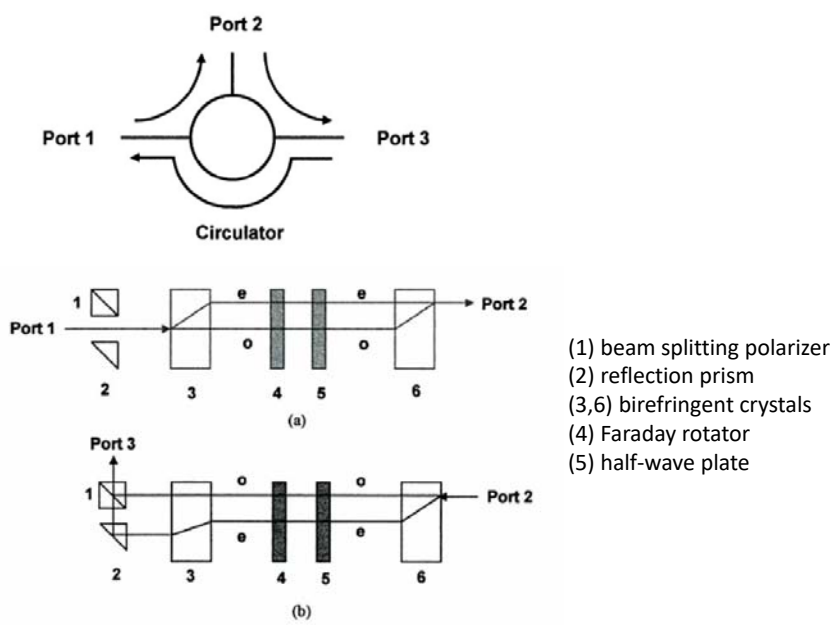
## Vláknový polarizačně nezávislý optický izolátor



ÚFE

105

## Vláknový polarizačně nezávislý optický cirkulátor



ÚFE

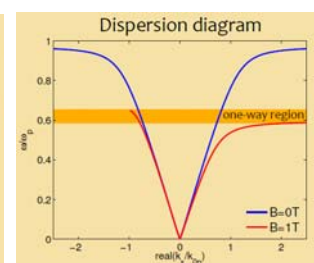
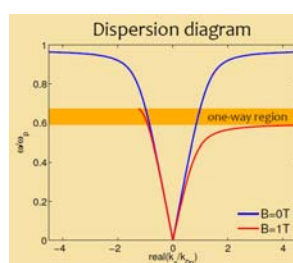
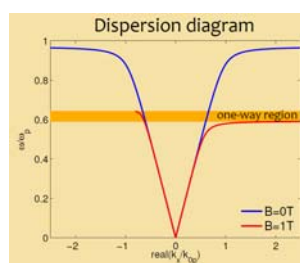
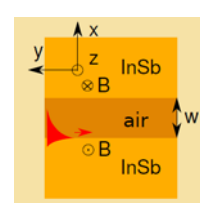
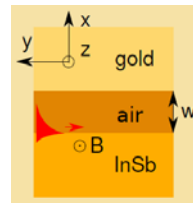
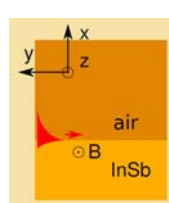
106

## Vlnovodné izolátory

Faradayův jev nelze efektivně využít – krátká dráha, polarizační závislost.

Příčný MO jev v *asymetrickém vlnovodu*,

*MO rozštěpení disperzních charakteristik povrchových plazmonů*,....



ÚFE

107

## Úvod do základů teorie

### hyperbolických (meta)materiálů

ÚFE

108

## Elementární teorie efektivního prostředí (EMT)

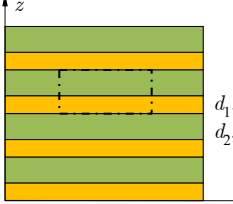
Vrstevnaté prostředí s parametry  $\varepsilon_1$ ,  $d_1$  a  $\varepsilon_2$ ,  $d_2$ ,  $d_1, d_2 \ll \lambda$

Střední hodnota elektrické indukce pro elektrické pole rovnoběžné s vrstvami:

$$E_{x1} = E_{x2} = E, \quad \bar{D}_x = \frac{D_{x1}d_1 + D_{x2}d_2}{d_1 + d_2} = \frac{\varepsilon_1 d_1 + \varepsilon_2 d_2}{d_1 + d_2} E = \varepsilon_{\parallel} E$$

$$\frac{d_1}{d_1 + d_2} = f, \quad \frac{d_2}{d_1 + d_2} = 1 - f, \quad 0 \leq f \leq 1. \quad \text{Tedy} \quad \varepsilon_{\parallel} = f\varepsilon_1 + (1-f)\varepsilon_2,$$

Střední hodnota intenzity elektrického pole pro elektrickou indukci rovnoběžnou s vrstvami:



$$D_{z1} = D_{z2} = D, \quad \bar{E}_z = \frac{E_{z1}d_1 + E_{z2}d_2}{d_1 + d_2} = \frac{d_1/\varepsilon_1 + d_2/\varepsilon_2}{d_1 + d_2} D = \frac{1}{\varepsilon_{\perp}} D,$$

$$\frac{1}{\varepsilon_{\perp}} = \frac{1}{\varepsilon_1} f + \frac{1}{\varepsilon_2} (1-f), \quad \varepsilon_{\perp} = \frac{\varepsilon_1 \varepsilon_2}{f\varepsilon_2 + (1-f)\varepsilon_1},$$

**Efektivní prostředí je anizotropní, jednoosé, s tenzorem permitivity**

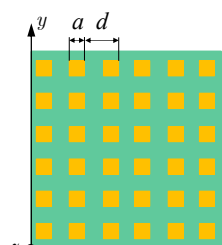
J. C. Maxwell Garnett, "Colours in metal glasses and in metallic films,"  
Philosophical Transaction of the Royal Society London **203**, 385-420 (1904).

$$\boldsymbol{\varepsilon}_{eff} = \begin{pmatrix} \varepsilon_{\parallel} & 0 & 0 \\ 0 & \varepsilon_{\parallel} & 0 \\ 0 & 0 & \varepsilon_{\perp} \end{pmatrix}$$

ÚFE

109

### „Duální“ („nanodráťové“) efektivní prostředí



Evidentně,  $\varepsilon_{\parallel} = f^2\varepsilon_1 + (1-f^2)\varepsilon_2$ ,  $\boldsymbol{\varepsilon}_{eff} = \begin{pmatrix} \varepsilon_{\perp} & 0 & 0 \\ 0 & \varepsilon_{\perp} & 0 \\ 0 & 0 & \varepsilon_{\parallel} \end{pmatrix}$

$$f = \frac{a}{d}, \quad \varepsilon_{\perp} \approx \frac{f\varepsilon_1\varepsilon_2}{f\varepsilon_2 + (1-f)\varepsilon_1} + (1-f)\varepsilon_2$$

Efektivní anizotropní jednoosé prostředí

### Ideální (bezeztrátové) metalo-dielektrické efektivní prostředí:

Příklad: Ag/SiO<sub>2</sub> na vln. délce 700 nm:  $\varepsilon_m \doteq -22 + i0.67$ ,  $\varepsilon_d \doteq 2.12$

Vrstevnaté prostředí

Síť kovových „nanodráťů“

| f   | $\varepsilon_{\parallel}$ | $\varepsilon_{\perp}$ |
|-----|---------------------------|-----------------------|
| 0.2 | -2.71                     | 2.72                  |
| 0.5 | -9.94                     | 4.69                  |
| 0.7 | -14.76                    | 9.12                  |
| 0.8 | -17.18                    | 17.25                 |

| f   | $\varepsilon_{\parallel}$ | $\varepsilon_{\perp}$ |
|-----|---------------------------|-----------------------|
| 0.2 | 1.155                     | 2.24                  |
| 0.5 | -3.91                     | 3.41                  |
| 0.7 | -9.70                     | 7.02                  |
| 0.8 | -13.317                   | 14.23                 |

ÚFE

Fresnelova disperzní formule pro jednoosé prostředí:

$$\Phi(\omega, \mathbf{l}) = (\varepsilon_{xx} - l_x^2 - l_y^2 - l_z^2) [\varepsilon_{xx}\varepsilon_{zz} - \varepsilon_{xx}(l_x^2 + l_y^2) - \varepsilon_{zz}l_z^2] = 0.$$

Pro (bezeztrátové) vrstevnaté prostředí  $\varepsilon_{xx} = \varepsilon_{||} < 0, \varepsilon_{zz} = \varepsilon_{\perp} > 0$ .

Tedy

$$l_x^2 + l_y^2 + l_z^2 = \varepsilon_{||}, \quad \frac{l_x^2 + l_y^2}{\varepsilon_{\perp}} + \frac{l_z^2}{\varepsilon_{||}} = 1 \quad \text{neboli} \quad \frac{l_x^2 + l_y^2}{\varepsilon_{\perp}} = 1 + \frac{l_z^2}{|\varepsilon_{||}|},$$

„Rádná“ evanescentní (tlumená) vlna – objemový plazmon (nešířivá vlna)

Jednodílný rotační hyperboloid

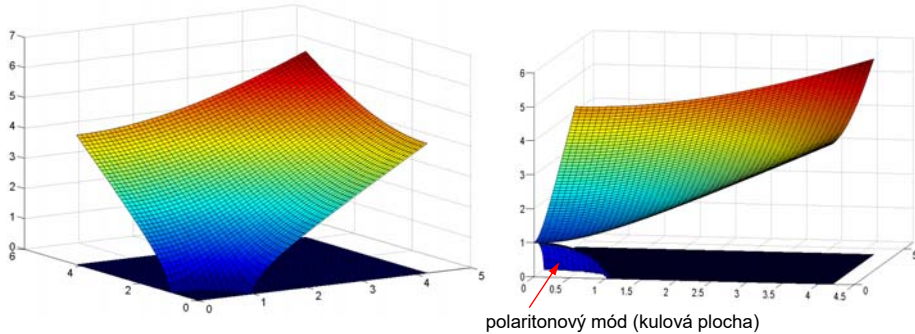
Pro (bezeztrátové) „drátové“ prostředí  $\varepsilon_{xx} \approx \varepsilon_{\perp} > 0, \varepsilon_{zz} \approx \varepsilon_{||} < 0$ .

$$l_x^2 + l_y^2 + l_z^2 = \varepsilon_{\perp}, \quad \frac{l_x^2 + l_y^2}{\varepsilon_{||}} + \frac{l_z^2}{\varepsilon_{\perp}} = 1 \quad \text{neboli} \quad \frac{l_x^2 + l_y^2}{|\varepsilon_{||}|} = \frac{l_z^2}{\varepsilon_{\perp}} - 1,$$

„Rádná“ „šířivá“ (netlumená) vlna – polaritonový mód

Dvojdílný rotační hyperboloid  
(poloměr je kladný jen pro  $|l_z| > \sqrt{\varepsilon_{\perp}}$ ).

### Hyperbolické plochy vlnových vektorů



Jednodílný rotační hyperboloid

Dvojdílný rotační hyperboloid

$$\boldsymbol{\varepsilon}_{eff} = \begin{pmatrix} -1.1 & 0 & 0 \\ 0 & -1.1 & 0 \\ 0 & 0 & 1 \end{pmatrix}$$

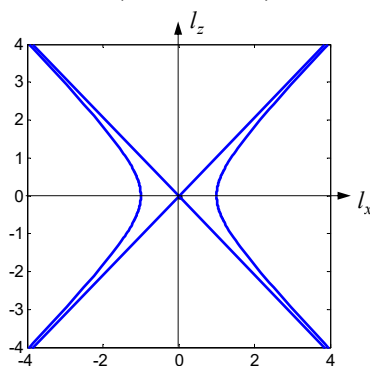
$$\boldsymbol{\varepsilon}_{eff} = \begin{pmatrix} 1 & 0 & 0 \\ 0 & 1 & 0 \\ 0 & 0 & -1.1 \end{pmatrix}$$

### Řez hyperbolickými plochami vlnových vektorů rovinou **xz**

$$l_x^2 + l_z^2 = \varepsilon_{xx}, \quad \frac{l_x^2}{\varepsilon_{zz}} + \frac{l_z^2}{\varepsilon_{xx}} = 1;$$

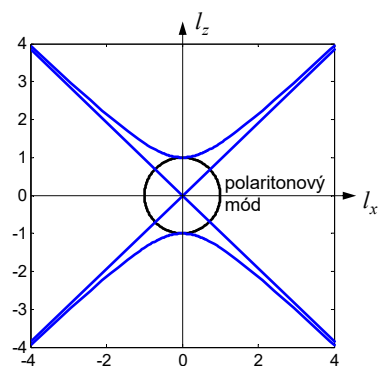
**Jednodílný** rotační hyperboloid

$$\varepsilon_{eff} = \begin{pmatrix} -1.1 & 0 & 0 \\ 0 & -1.1 & 0 \\ 0 & 0 & 1 \end{pmatrix}$$



**Dvojdílný** rotační hyperboloid

$$\varepsilon_{eff} = \begin{pmatrix} 1 & 0 & 0 \\ 0 & 1 & 0 \\ 0 & 0 & -1.1 \end{pmatrix}$$



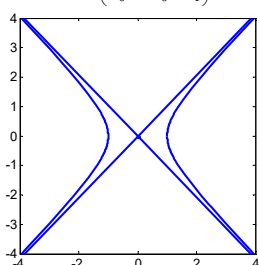
ÚFE

113

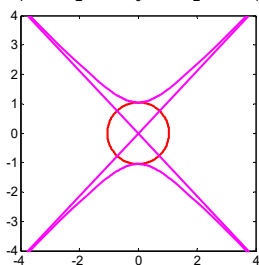
### Hyperbolické plochy komplexních vlnových vektorů

**Jednodílný** rotační hyperboloid

$$\varepsilon_{eff} = \begin{pmatrix} -1.1 & 0 & 0 \\ 0 & -1.1 & 0 \\ 0 & 0 & 1 \end{pmatrix}$$



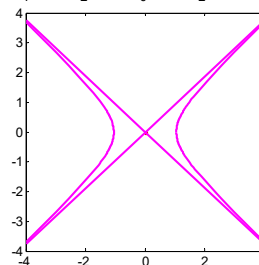
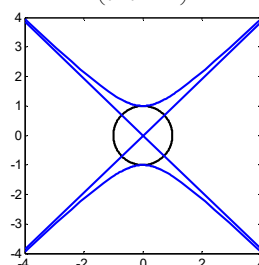
$\text{Re}\{l_x\}, \text{ Re}\{l_z\}$



$\text{Im}\{l_x\}, \text{ Im}\{l_z\}$

**Dvojdílný** rotační hyperboloid

$$\varepsilon_{eff} = \begin{pmatrix} 1 & 0 & 0 \\ 0 & 1 & 0 \\ 0 & 0 & -1.1 \end{pmatrix}$$

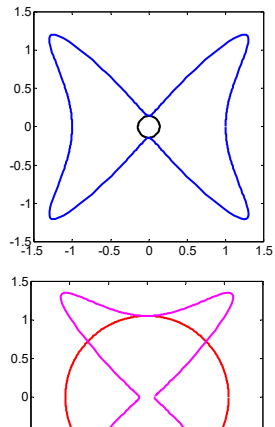


ÚFE

114

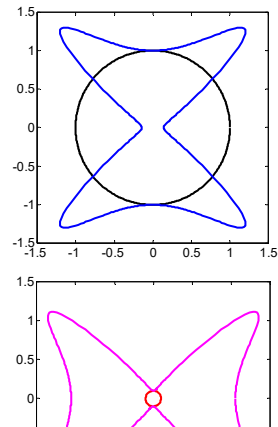
### Plochy komplexních vlnových vektorů ve ztrátovém hyperbolickém prostředí

$$\varepsilon_{eff} = \begin{pmatrix} -1.1+0.3i & 0 & 0 \\ 0 & -1.1+0.3i & 0 \\ 0 & 0 & 1+0.2i \end{pmatrix}$$



$\text{Re}\{l_x\}, \text{Re}\{l_z\}$

$$\varepsilon_{eff} = \begin{pmatrix} 1+0.2i & 0 & 0 \\ 0 & 1+0.2i & 0 \\ 0 & 0 & -1.1+0.3i \end{pmatrix}$$



$\text{Im}\{l_x\}, \text{Im}\{l_z\}$

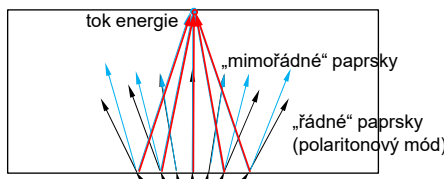
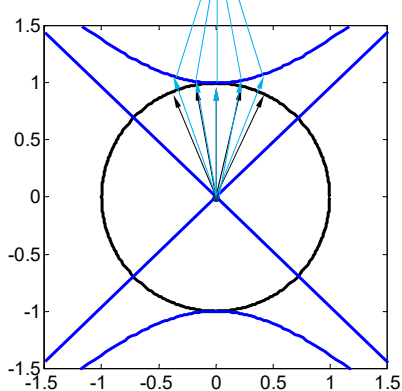
ÚFE

115

### Možné potenciální aplikace:

Zobrazování planární čočkou z hyperbolického materiálu

$$\varepsilon_{eff} = \begin{pmatrix} \varepsilon_1 & 0 & 0 \\ 0 & \varepsilon_1 & 0 \\ 0 & 0 & \varepsilon_2 \end{pmatrix}, \quad \varepsilon_1 > 0, \quad \varepsilon_2 < 0$$



... a některé další...

ÚFE

116

... a to už je úplný konec...